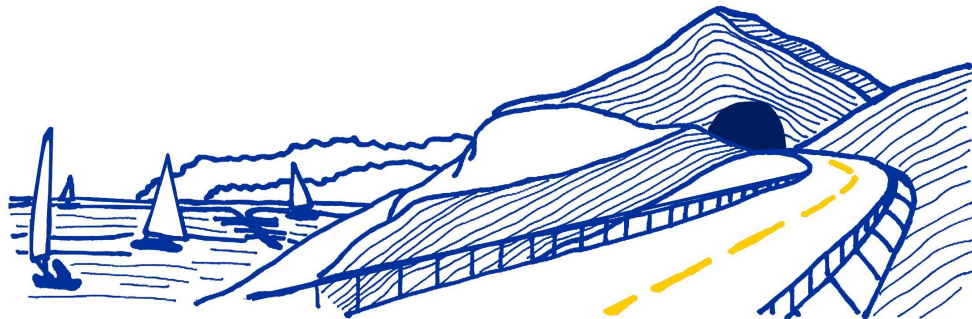


**VARIANTE ALLA S.S.1 AURELIA (AURELIA BIS)
VIABILITA' DI ACCESSO ALL' HUB PORTUALE DI LA SPEZIA
INTERCONNESSIONE TRA I CASELLI DELLA A-12 E IL PORTO DI LA SPEZIA
3° LOTTO TRA FELETTINO E IL RACCORDO AUTOSTRADALE**

PROGETTO ESECUTIVO DI STRALCIO E COMPLETAMENTO C - 3° TRATTO

PROGETTO ESECUTIVO

GE265



VISTO: IL RESPONSABILE
DEL PROCEDIMENTO

RESPONSABILE
DELL'INTEGRAZIONE DELLE
PRESTAZIONI SPECIALISTICHE

PROGETTISTA SPECIALISTA

IL COORDINATORE DELLA
SICUREZZA IN FASE DI
PROGETTAZIONE

Ing. Fabrizio CARDONE

Ing. Alessandro RODINO

Ing. Paolo Alberto COLETTI

Dott. Domenico TRIMBOLI

**OPERE MINORI
OPERE DI SOSTEGNO: MURI
SVINCOLO DI MELARA - VIABILITA' LOCALE
MURO DI SOSTEGNO PREFABBRICATO IN DX RAMPA Z (MU50)
RELAZIONE DI CALCOLO**

CODICE PROGETTO

NOME FILE

REVISIONE

SCALA:

PROGETTO LIV. PROG. N. PROG.

0000_V04OM15STRRE01_A

DPGE0265 E 20

CODICE ELAB. V04OM15STRRE01

A

-

C

B

A

EMISSIONE

Marzo 2021

M. Barale

A. Rodino

D. Morgera

REV.

DESCRIZIONE

DATA

REDATTO

VERIFICATO

APPROVATO

INDICE	pag.
1. INTRODUZIONE	1
2. NORMATIVE DI RIFERIMENTO	3
3. CARATTERISTICHE DEI MATERIALI	5
3.1 Calcestruzzo	5
3.1.1 Calcestruzzo prefabbricato per pannelli – C35/45	5
3.1.2 Calcestruzzo in opera per suola di stabilizzazione – C20/25	5
3.1.3 Calcestruzzo in opera per piano d'appoggio – C16/20	5
3.2 Acciaio B450C	5
4. PARAMETRI GEOTECNICI	6
4.1 Terreno di riempimento	6
4.2 Terreno di fondazione	6
5. CARATTERIZZAZIONE DELLA STRUTTURA	7
6. CLASSIFICAZIONE DELLE AZIONI	8
6.1 Azioni permanenti (G)	8
6.2 Azioni variabili (Q)	8
6.3 Azioni eccezionali (E)	8
6.4 Azioni sismiche (E)	8
7. COMBINAZIONI DELLE AZIONI	9
7.1 Combinazioni SLU	9
7.2 Combinazioni SLE	9
8. CARATTERISTICHE GEOMETRICHE DEL MURO	10
8.1 Muro di altezza fino a 8.80 m	10
9. VERIFICHE DI STABILITÀ E VERIFICHE STRUTTURALI -SLU	11
9.1 Verifica a capacità portante	11
10. COEFFICIENTI SULLE AZIONI	14
11. COEFFICIENTI SUI MATERIALI	15
12. COEFFICIENTI SULLE RESISTENZE	16

13. VERIFICHE S.L.E.	17
13.1 Verifica a fessurazione.....	17
13.2 Verifica delle tensioni di esercizio.....	17
14. VERIFICHE PANNELLO PREFABBRICATO	19
14.1 Verifica a flessione nel piano verticale.....	19
14.2 Verifica a flessione nel piano orizzontale.....	19
14.3 Verifica a taglio.....	20
15. SOLETTA DI FONDAZIONE	21
15.1 Verifica a flessione	21
16. VERIFICHE DI STABILITÀ GLOBALE MURO-TERRENO.....	22
16.1 Metodo di analisi.....	22
16.2 Condizioni di carico	23
16.3 Descrizione combinazioni di carico.....	23
16.4 Risultati delle analisi.....	24
ALLEGATO A: SEZIONE 1 – H=3.30M	26
ALLEGATO B: SEZIONE 2 – H=3.85M.....	35
ALLEGATO C: SEZIONE 3 – H=4.40M.....	44

1. Introduzione

La presente Relazione viene redatta nell'ambito del Contratto applicativo per la progettazione esecutiva dell'intervento S.S. 1 "Lavori di costruzione della variante alla S.S. 1 Aurelia (Aurelia bis), viabilità di accesso all'HUB portuale di La Spezia, interconnessione tra i caselli della A 12 e il porto di La Spezia – 3. lotto tra Felettino ed il raccordo autostradale - Progetto Esecutivo di stralcio e completamento C – 3. tratto".

Lo "Stralcio C" inizia appena prima della spalla Nord del Viadotto "San Severio II", indicativamente alla Progressiva km 2+780 (ex Sez. N. 140).

Nel tratto iniziale è presente il viadotto "San Venerio II" (L=114m) e lo svincolo di San Venerio. Successivamente il tracciato prosegue con tre gallerie, intervallate da due brevi tratti in sede naturale: la galleria artificiale "Felettino II" (L=191,30 m), la galleria naturale "Felettino III" (L=245 m) e la galleria naturale "Fornaci I" (L=447.34 m).

Successivamente, nel tratto terminale, sono previste le rampe dello svincolo "Melara" di collegamento col "Raccordo autostradale". Delle rampe che si dipartono dalla galleria artificiale "Fornaci II", due proseguono in galleria naturale: galleria naturale "Fornaci III" (L=86.50 m) e "Fornaci IV" (L=165 m). Successivamente le rampe si innalzano per portarsi alla quota del viadotto autostradale esistente, al quale si vanno ad affiancare con viadotti che realizzano le corsie di entrata ed uscita al Raccordo autostradale.

Nella l'ambito dello svincolo finale di Melara è da realizzare una generale rivisitazione della viabilità locale che interferisce con i lavori.

Sia per la realizzazione delle rampe dello svincolo Melara che per la realizzazione della viabilità locale sono da realizzare un numero elevato di muri di sostegno delle terre, comunque tutti di modesta altezza, oggetto della presente relazione.

Già nei precedenti livelli di progettazione si era ricorso diffusamente a soluzioni in prefabbricato. L'impostazione progettuale è stata mantenuta anche perché alcuni muri in parte sono stati realizzati e sono da completare.

In sede esecutiva l'impresa appaltatrice potrà scegliere il fornitore delle strutture, che dovranno essere approvate e accette dalla Direzione dei lavori. In tale sede l'impresa di prefabbricazione dovrà presentare tutta la documentazione tecnica necessaria per l'approvazione.

Nel seguito si riportano gli stralci planimetrici con indicazione delle strutture previste.

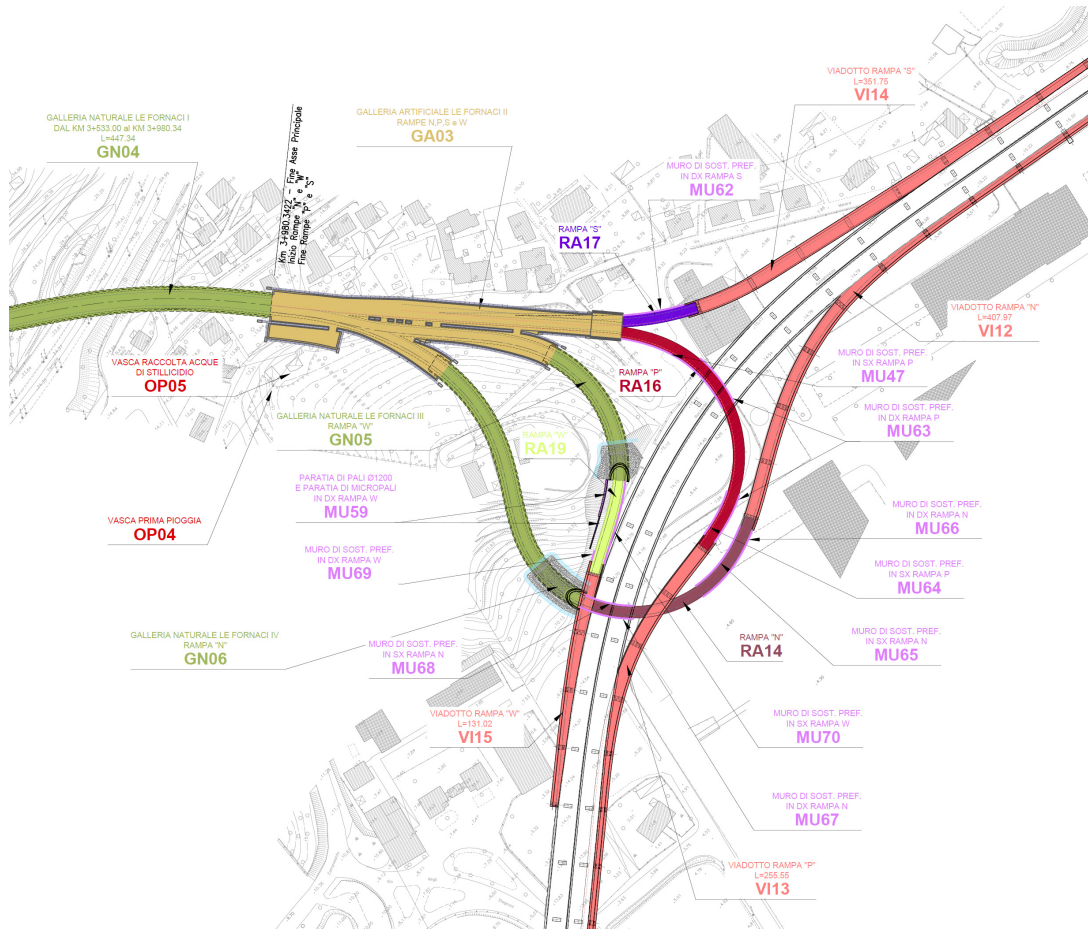


Figura 1 : Stralcio planimetrico dello Svincolo Melara

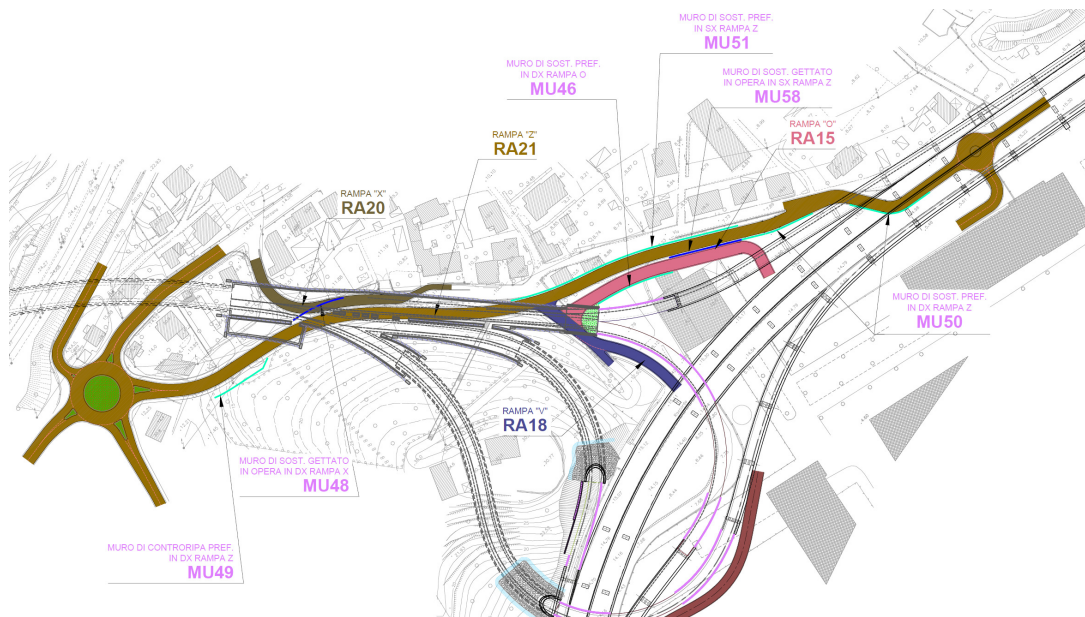


Figura 2 : Stralcio planimetrico della viabilità secondaria

2. Normative di riferimento

Con riferimento al quadro normativo di riferimento progettuale per le strutture, si evidenzia che, il D.M. 17/01/2018 “Aggiornamento delle «Norme tecniche per le costruzioni»”, prevede, all’ Art. 2 “Ambito di applicazione e disposizioni transitorie”, che *“per le opere pubbliche o di pubblica utilità in corso di esecuzione, per i contratti pubblici di lavori già affidati, nonché per i progetti definitivi o esecutivi già affidati prima della data di entrata in vigore delle norme tecniche per le costruzioni, si possono continuare ad applicare le previgenti norme tecniche per le costruzioni fino all’ultimazione dei lavori ed al collaudo statico degli stessi”*.

Pertanto, essendo l’attività da svolgere il progetto di completamento di opere già parzialmente realizzate il riferimento normativo di riferimento restano le Norme tecniche per le costruzioni» di cui al Decreto Ministeriale 14 gennaio 2008.

Per quanto sopra la normativa di riferimento per il calcolo e la verifica delle strutture risulta essere la seguente:

Con riferimento al quadro normativo di riferimento progettuale per le strutture, si evidenzia che, il D.M. 17/01/2018 “Aggiornamento delle «Norme tecniche per le costruzioni»”, prevede, all’ Art. 2 “Ambito di applicazione e disposizioni transitorie”, che *“per le opere pubbliche o di pubblica utilità in corso di esecuzione, per i contratti pubblici di lavori già affidati, nonché per i progetti definitivi o esecutivi già affidati prima della data di entrata in vigore delle norme tecniche per le costruzioni, si possono continuare ad applicare le previgenti norme tecniche per le costruzioni fino all’ultimazione dei lavori ed al collaudo statico degli stessi”*.

Pertanto, essendo l’attività da svolgere il progetto di completamento di opere già parzialmente realizzate il riferimento normativo di riferimento restano le Norme tecniche per le costruzioni» di cui al Decreto Ministeriale 14 gennaio 2008.

Per quanto sopra la normativa di riferimento per il calcolo e la verifica delle strutture risulta essere la seguente:

- Decreto 14 gennaio 2008 "Norme tecniche per le costruzioni".
- Circolare Ministero Infrastrutture e Trasporti n. 617 del 2 Febbraio 2009 - “Istruzioni per l’applicazione delle Nuove Norme Tecniche per le costruzioni di cui al decreto ministeriale 14 Gennaio 2008”.
- Legge 5 novembre 1971, n. 1086 - Norme per la disciplina delle opere in conglomerato cementizio armato normale e precompresso ed a struttura metallica.
- Circolare Ministero dei Lavori pubblici 14 febbraio 1974, n.11951 – Applicazione delle norme sul cemento armato.
- Calcestruzzo - specificazione, prestazione, produzione e conformità (UNI EN 206-1:2006);

- D.M. LL. PP. 11 marzo 1988 “Norme tecniche riguardanti le indagini sui terreni e sulle rocce, la stabilità dei pendii naturali e delle scarpate, i criteri generali e le prescrizioni per la progettazione, l’esecuzione ed il collaudo delle opere di sostegno delle terre e delle opere di fondazione” e le relative istruzioni (Circolare Ministero Lavori Pubblici 24 settembre 1988, N. 30483 - Circolare Ministero Lavori Pubblici 9 gennaio 1996, N. 218/24/3).
- D.M. LL. PP. 14 febbraio 1992 “Norme tecniche per l’esecuzione delle opere in cemento armato normale e precompresso e per le strutture metalliche” e le relative istruzioni (Circolare Ministero Lavori Pubblici 24 giugno 1993, N. 37406/STC).
- D.M. LL. PP. 9 gennaio 1996 “Norme tecniche per il calcolo, l’esecuzione ed il collaudo delle strutture in cemento armato, normale e precompresso e per le strutture metalliche” e le relative istruzioni (Circolare Ministero Lavori Pubblici 15 ottobre 1996, N. 252).
- D.M. LL. PP. 16 gennaio 1996 “Norme tecniche relative ai «Criteri generali per la verifica di sicurezza delle costruzioni e dei carichi e dei sovraccarichi»” e le relative istruzioni (Circolare Ministero Lavori Pubblici 4 luglio 1996, N. 156AA.GG./STC).
- Legge 2 Febbraio 1974 n° 64 - “Provvedimenti per le costruzioni con particolari prescrizioni per le zone sismiche”.
- D.M. LL. PP. 16/01/1996 “Norme tecniche per le costruzioni in zone sismiche” e le relative istruzioni (Circolare Ministero L. P. Pubblici 10/04/1997, N. 65/AA.GG.).
- Ordinanza n. 3274 20 marzo 2003 della Presidenza del Consiglio dei Ministri “Primi elementi in materia di criteri generali per la classificazione sismica del territorio nazionale e normative tecniche per le costruzioni in zona sismica” e s.m.i.
- Presidenza del Consiglio dei Ministri – Ordinanza n. 3519 del 28 Aprile 2006 - “Criteri generali per l’individuazione delle zone sismiche e per la formazione e l’aggiornamento degli elenchi delle medesime zone”.
- Circolare Ministero dei Lavori pubblici 14 febbraio 1974, n.11951 – Applicazione delle norme sul cemento armato.
- Calcestruzzo - specificazione, prestazione, produzione e conformità (UNI EN 206-1:2006).
- Eurocodici UNI EN 1990:2006; UNI EN 1991; UNI EN 1993; UNI EN 1994; UNI EN 1997; UNI EN 1998
- UNI EN 1992-1-1:2005 - EC 2: PROGETTAZIONE DELLE STRUTTURE DI CALCESTRUZZO;
- UNI EN 1992-1-2:2006 - EC 2 parte 2: CONCRETE BRIDGES (per quanto applicabile);
- MODEL CODE 90 CEB/FIP.

3. Caratteristiche dei materiali

3.1 Calcestruzzo

3.1.1 Calcestruzzo prefabbricato per pannelli – C35/45

resistenza caratteristica cilindrica	$f_{ck} =$	350	kg/cm ²
resistenza caratteristica cubica	$f_{ck(c)} =$	450	kg/cm ²
valore medio resistenza caratteristica cilindrica	$f_{cm} =$	430	kg/cm ²
valore medio resistenza a trazione assiale	$f_{ctm} =$	32.1	kg/cm ²
modulo di elasticità secante	$E_{cm} =$	340771	kg/cm ²

3.1.2 Calcestruzzo in opera per suola di stabilizzazione – C20/25

resistenza caratteristica cilindrica	$f_{ck} =$	200	kg/cm ²
resistenza caratteristica cubica	$f_{ck(c)} =$	250	kg/cm ²
valore medio resistenza caratteristica cilindrica	$f_{cm} =$	280	kg/cm ²
valore medio resistenza a trazione assiale	$f_{ctm} =$	22.1	kg/cm ²
modulo di elasticità secante	$E_{cm} =$	299620	kg/cm ²

3.1.3 Calcestruzzo in opera per piano d'appoggio – C16/20

resistenza caratteristica cilindrica	$f_{ck} =$	160	kg/cm ²
resistenza caratteristica cubica	$f_{ck(c)} =$	200	kg/cm ²
valore medio resistenza caratteristica cilindrica	$f_{cm} =$	240	kg/cm ²
valore medio resistenza a trazione assiale	$f_{ctm} =$	19,05	kg/cm ²
modulo di elasticità secante	$E_{cm} =$	286079	kg/cm ²

3.2 Acciaio B450C

Tensione caratteristica di snervamento	$f_{yk} =$	4500	kg/cm ²
Tensione caratteristica di rottura	$f_{tk} =$	5400	kg/cm ²

4. Parametri geotecnici

4.1 Terreno di riempimento

$\Phi = 32^\circ$	angolo di attrito interno
$\gamma = 1900 \text{ daN/mc}$	peso specifico del terreno
$c' = 0 \text{ daN/cm}^2$	coesione

4.2 Terreno di fondazione

$\Phi = 28^\circ$	angolo di attrito interno
$\gamma = 1800 \text{ daN/mc}$	peso specifico del terreno
$c' = 0 \text{ daN/cm}^2$	coesione

La falda si assume a profondità non significative per le verifiche dei muri.

5. Caratterizzazione della struttura

Secondo quanto prescritto dal D.M. 14/01/2008, ai fini delle verifiche di sicurezza di una struttura devono essere definiti i seguenti parametri:

- VITA NOMINALE: vista l'importanza strategica dell'opera si considera $VN \geq 50$ anni;
- CLASSE D'USO : III
- PERIODO DI RIFERIMENTO (per l'azione sismica): 75 anni.

6. Classificazione delle azioni

6.1 Azioni permanenti (G)

- Pesì Propri : prefabbricato, fondazione e terreno sulla fondazione;
- Spinte del terreno: l'interazione terreno-struttura è tale da consentire che si sviluppi un regime di spinta attiva.

6.2 Azioni variabili (Q)

- Sovraccarico accidentale dovuto alla presenza di veicoli di 2000 daN/mq (Q1).

6.3 Azioni eccezionali (E)

- Azione d'urto del mezzo in svio: si considera l'azione di collisione accidentale dei mezzi sopra i ponti pari a 100 kN agente 1.00 m sopra la testa muro, diffusa su almeno 4 pannelli dal cordolo gettato in opera.

6.4 Azioni sismiche (E)

Parametri sismici adottati :

- | | |
|---|----------|
| • TEMPO DI RITORNO : | 712 anni |
| • CATEGORIA SOTTOSUOLO : | B |
| • CATEGORIA TOPOGRAFICA : | T1 |
| • FATTORE DI AMPLIFICAZIONE TOPOGRAFICA : | 1.0 |
| • FATTORE DI AMPLIFICAZIONE STRATIGRAFICA : | 1.2 |
| • ACC. ORIZZ. MASSIMA SU SITO RIGIDO: | 0.142 |

7. Combinazioni delle azioni

Con riferimento al D.M. 14/01/2008 – par. 2.5.3 e tabella 2.5.I, si riportano i coefficienti di combinazione adottati:

7.1 Combinazioni SLU

COMBINAZIONE	PERMANENTI		ACCIDENTALI		VENTO		SISMA		URTO	
	γ	ψ	γ	ψ	γ	ψ	γ	ψ	γ	ψ
Comb A1+M1	1.3	1.0	1.5	1.0	1.5	0.6	0.0	0.0	0.0	0.0
Comb A1+M1	1.3	1.0	1.5	0.7	1.5	1.0	0.0	0.0	0.0	0.0
Comb A2+M2	1.0	1.0	1.3	1.0	1.3	0.6	0.0	0.0	0.0	0.0
Comb A2+M2	1.0	1.0	1.3	0.7	1.3	1.0	0.0	0.0	0.0	0.0
Comb EQ	1.1	1.0	1.5	1.0	1.5	0.6	0.0	0.0	0.0	0.0
Comb EQ	1.1	1.0	1.5	0.7	1.5	1.0	0.0	0.0	0.0	0.0
Sisma ($ag/g=0.142$)	1.0	1.0	1.0	0.3	1.0	0.0	1.0	0.0	0.0	0.0
URTO	1.0	1.0	1.0	0.3	1.0	0.0	0.0	0.0	1.0	0.0

7.2 Combinazioni SLE

COMBINAZIONE	PERMANENTI		ACCIDENTALI		VENTO		SISMA		URTO	
	γ	ψ	γ	ψ	γ	ψ	γ	ψ	γ	ψ
RARA	1.0	1.0	1.0	1.0	1.0	0.6	0.0	0.0	0.0	0.0
FREQUENTE	1.0	1.0	1.0	0.5	1.0	0.2	0.0	0.0	0.0	0.0
Q. PERMANENTE	1.0	1.0	1.0	0.3	1.0	0.0	0.0	0.0	0.0	0.0

8. Caratteristiche geometriche del muro

8.1 Muro di altezza fino a 8.80 m

L'analisi viene condotta prendendo come riferimento un **elemento modulare prefabbricato di larghezza 2.50 m**, considerando il contributo delle **due nervature di irrigidimento** a tergo del paramento verticale.

Le nervature di irrigidimento di spessore 15/18 cm presentano un primo tratto a sezione costante di altezza $h=30$ cm ed un secondo ad altezza variabile secondo un'inclinazione del 20% sulla verticale. Il paramento può essere verticale o inclinato fino ad un massimo del 10%, anche se a favore di sicurezza nel dimensionamento si considera sempre verticale. Le due nervature sono collegate fra loro da una soletta di spessore costante $s=10$ cm.

I bordi presentano un giunto "a sella" maschio-femmina in modo da trattenere i materiali e da permettere il montaggio degli elementi anche seguendo una curva, sia concava che convessa.

Alla base del muro le nervature presentano ciascuna un'apertura trasversale per il passaggio delle armature della trave di collegamento che si realizza fra i pannelli; l'altezza dell'apertura viene determinata in base all'altezza della suola di stabilizzazione, assicurando un adeguato ricoprimento dell'armatura superiore della trave. I muri in oggetto sono tipo "T" dove il tipo di fondazione è sia a valle, sia a monte.

9. Verifiche di stabilità e verifiche strutturali -SLU

Secondo quanto riportato dal D.M. 14/01/2008 :

$$E_d \leq R_d \quad (6.2.1)$$

dove E_d è il valore di progetto dell'azione o dell'effetto dell'azione

$$E_d = E \left[\gamma_F F_k; \frac{X_k}{\gamma_M}; a_d \right] \quad (6.2.2a)$$

ovvero

$$E_d = \gamma_E \cdot E \left[F_k; \frac{X_k}{\gamma_M}; a_d \right], \quad (6.2.2b)$$

con $\gamma_E = \gamma_F$, e dove R_d è il valore di progetto della resistenza del sistema geotecnico:

$$R_d = \frac{1}{\gamma_R} R \left[\gamma_F F_k; \frac{X_k}{\gamma_M}; a_d \right]. \quad (6.2.3)$$

Per i muri di sostegno o per altre strutture miste ad essi assimilabili devono essere effettuate le verifiche con riferimento almeno ai seguenti stati limite:

- *SLU di tipo geotecnico (GEO) e di equilibrio di corpo rigido (EQU)*
 - stabilità globale del complesso opera di sostegno-terreno;
 - scorrimento sul piano di posa;
 - collasso per carico limite dell'insieme fondazione-terreno;
 - ribaltamento;
- *SLU di tipo strutturale (STR)*
 - raggiungimento della resistenza negli elementi strutturali,

accertando che la condizione (6.2.1) sia soddisfatta per ogni stato limite considerato.

Le verifiche sono condotte secondo l'approccio 2:

- Combinazione (A1+M1+R3)

Per la sola verifica a ribaltamento si considera la sola combinazione (EQ+M2+R2).

9.1 Verifica a capacità portante

La valutazione della capacità portante delle fondazioni superficiali viene condotta in accordo all'equazione:

$$q_{lim} = 0.5 \gamma_c B' N_\gamma s_\gamma i_\gamma b_\gamma g_\gamma + c' N_c s_c d_c i_c b_c g_c + q N_q s_q d_q i_q b_q g_q$$

Le espressioni che forniscono i valori dei fattori di capacità portante (N) e dei fattori

correttivi (s, i, b, g) sono riportate nella tabella seguente:

Fattori di capacità portante	N_c	$(Nq-1)\cot\phi$	Hansen
	N_γ	$1,5*(Nq-1)\tan\phi$	Hansen
	N_q	$e^{\pi\tan\phi}\tan^2(45+\phi/2)$	Hansen
Fattori correttivi	forma		
	s_c	1 per fondazioni nastriformi	Hansen
	s_γ	1 per fondazioni nastriformi	Hansen
	s_q	1 per fondazioni nastriformi	Hansen
	approfondimento		
	d_c	$1+0,4k$	Hansen e Vesic
	d_γ	1	Hansen e Vesic
	d_q	$1+2\tan\phi(1-\sin\phi)k$	Hansen e Vesic
	Inclinazione carico		
	i_c	$i_q - (1-i_q)/(Nq-1)$	Hansen e Vesic
	i_γ	$(1-(0,7*H)/(N+B'*c*\cot\phi))^5$	Hansen
	i_q	$(1-(0,5*H)/(N+B'*c*\cot\phi))^5$	Hansen
	Inclinazione fondazione*		
	b_c	$1-\eta/147^\circ$	Hansen
	b_γ	$\exp(-2,7*\eta\tan\phi)$	Hansen
	b_q	$\exp(-2*\eta\tan\phi)$	Hansen
Inclinazione piano campagna**			
g_c	$gq - [(1-gq)/(Nc*\tan\phi)]$	Hansen	
g_γ	$(1-\tan\beta)^2$	Hansen	
g_q	g_γ	Hansen	

* η = inclinazione base fondazione

** β = inclinazione pendio (dipende dall'angolo d'inclinazione del rilevato e dall'altezza del rilevato)

Tabella 1 – Coefficienti per il calcolo della capacità portante in condizioni drenate

Le formule utilizzate si riferiscono alla fondazione efficace equivalente ovvero quella fondazione rispetto alla quale il carico verticale N risulta centrato; la fondazione equivalente è caratterizzata dalle dimensioni B' e L' valutate sulla base dei criteri proposti da Meyerhof.

Il coefficiente di sicurezza a capacità portante è dato da:

$$F_s = \frac{q_{lim}}{q_{amm}}$$

dove:

dove:

- q_{lim} = capacità portante limite del terreno
 q = pressione verticale efficace agente alla quota di imposta della fondazione
 q_{amm} = pressione verticale uniforme sulla fondazione di area ridotta (N/Br)
 F_s = coefficiente di sicurezza ($R1;R2;R3 < k_p$)

10. Coefficienti sulle azioni

– Coefficienti parziali per le azioni o per l'effetto delle azioni.

CARICHI	EFFETTO	Coefficiente Parziale γ_F (o γ_E)	EQU	(A1) STR	(A2) GEO
Permanenti	Favorevole	γ_{G1}	0,9	1,0	1,0
	Sfavorevole		1,1	1,3	1,0
Permanenti non strutturali ⁽¹⁾	Favorevole	γ_{G2}	0,0	0,0	0,0
	Sfavorevole		1,5	1,5	1,3
Variabili	Favorevole	γ_{Q2}	0,0	0,0	0,0
	Sfavorevole		1,5	1,5	1,3

(1) Nel caso in cui i carichi permanenti non strutturali (ad es. i carichi permanenti portati) siano compiutamente definiti, si potranno adottare gli stessi coefficienti validi per le azioni permanenti.

11. Coefficienti sui materiali

[- *Coefficienti parziali per i parametri geotecnici del terreno*

PARAMETRO	GRANDEZZA ALLA QUALE APPLICARE IL COEFFICIENTE PARZIALE	COEFFICIENTE PARZIALE γ_M	(M1)	(M2)
<i>Tangente dell'angolo di resistenza al taglio</i>	$\tan \varphi'_k$	γ_φ	1,0	1,25
<i>Coesione efficace</i>	c'_k	γ_c	1,0	1,25
<i>Resistenza non drenata</i>	c_{tk}	γ_{cu}	1,0	1,4
<i>Peso dell'unità di volume</i>	γ	γ_γ	1,0	1,0

12. Coefficienti sulle resistenze

- Coefficienti parziali γ_R per le verifiche agli stati limite ultimi STR e GEO di muri di sostegno.

VERIFICA	COEFFICIENTE PARZIALE (R1)	COEFFICIENTE PARZIALE (R2)	COEFFICIENTE PARZIALE (R3)
Capacità portante della fondazione	$\gamma_R = 1,0$	$\gamma_R = 1,0$	$\gamma_R = 1,4$
Scorrimento	$\gamma_R = 1,0$	$\gamma_R = 1,0$	$\gamma_R = 1,1$
Resistenza del terreno a valle	$\gamma_R = 1,0$	$\gamma_R = 1,0$	$\gamma_R = 1,4$

13. Verifiche S.L.E.

Due sono le verifiche condotte:

1. Verifiche a fessurazione;
2. Verifiche delle tensioni di esercizio

13.1 Verifica a fessurazione

Secondo le prescrizioni riportate nella norma UNI EN 206-1 il muro **Paver** può essere soggetto alle condizioni ambientali corrispondenti alle seguenti classi di esposizione : XD1 e XC3 (per le classi XF e XA è necessario fare riferimento ai parametri qualitativi del calcestruzzo).

Per la definizione del limite di apertura delle fessure si assumono i seguenti parametri:

- Condizioni ambientali aggressive
- Armature poco sensibili

Quindi:

- combinazione frequente : $w_k=1.7*w_m < w_2=0,3$ mm
- combinazione quasi permanente : $w_k=1.7*w_m < w_3=0,2$ mm

13.2 Verifica delle tensioni di esercizio

Secondo quanto riportato dal D.M. 14/01/2008 :

Verifica delle tensioni di esercizio

Valutate le azioni interne nelle varie parti della struttura, dovute alle combinazioni caratteristica e quasi permanente delle azioni, si calcolano le massime tensioni sia nel calcestruzzo sia nelle armature; si deve verificare che tali tensioni siano inferiori ai massimi valori consentiti di seguito riportati.

1 *Tensione massima di compressione del calcestruzzo nelle condizioni di esercizio*

La massima tensione di compressione del calcestruzzo σ_c , deve rispettare la limitazione seguente:

$$\sigma_c < 0,60 f_{ck} \text{ per combinazione caratteristica (rara)} \quad (4.1.40)$$

$$\sigma_c < 0,45 f_{ck} \text{ per combinazione quasi permanente.} \quad (4.1.41)$$

Nel caso di elementi piani (solette, pareti, ...) gettati in opera con calcestruzzi ordinari e con spessori di calcestruzzo minori di 50 mm i valori limite sopra scritti vanno ridotti del 20%.

2 *Tensione massima dell'acciaio in condizioni di esercizio*

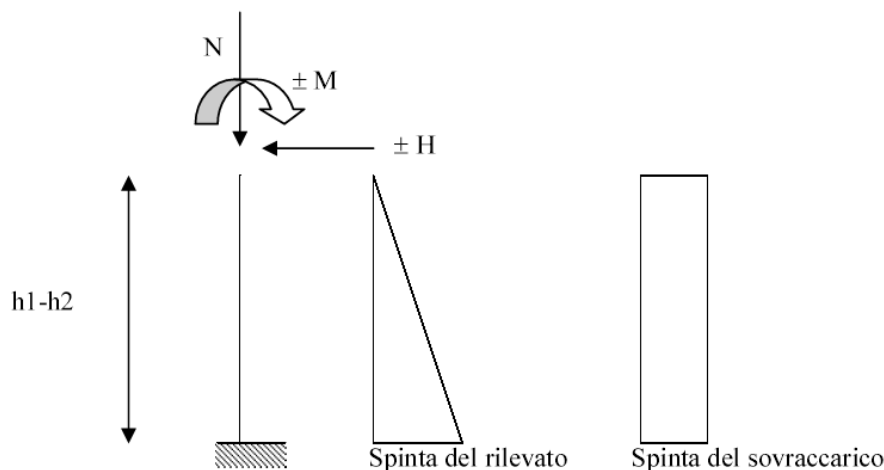
Per l'acciaio avente caratteristiche corrispondenti a quanto indicato al Cap. 11, la tensione massima, σ_s , per effetto delle azioni dovute alla combinazione caratteristica deve rispettare la limitazione seguente:

$$\sigma_s < 0,8 f_{yk} \quad (4.1.42)$$

14. Verifiche pannello prefabbricato

14.1 Verifica a flessione nel piano verticale

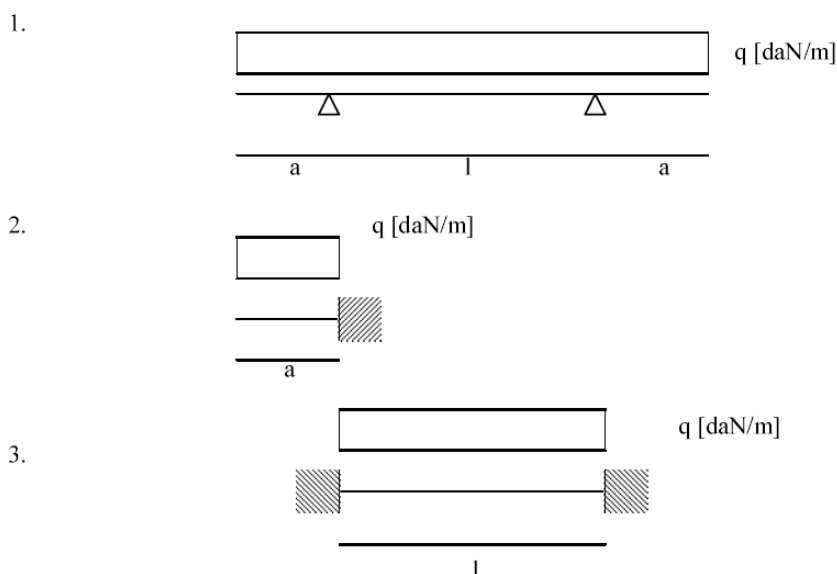
Si adotta lo schema statico di mensola incastrata nella fondazione, secondo lo schema seguente:



Viene condotta una verifica a presso flessione di un'equivalente sezione a T, con una sola nervatura data dalla somma delle due nervature, a partire dal bordo superiore del paramento prefabbricato, con passo di esplorazione "d"

14.2 Verifica a flessione nel piano orizzontale

Gli schemi statici adottabili per la verifica della soletta nel piano orizzontale sono i seguenti :



In quanto per le caratteristiche geometriche del pannello è sempre $a > l/2$ lo schema di

carico più gravoso si ha per la condizione 2, per cui nel calcolo si adotta lo schema di mensola incastrata nella nervatura.

Viene valutato lo sforzo di flessione a cui sono sottoposti i due sbalzi laterali del pannello, alla sezione d'attacco con le nervature verticali.

14.3 Verifica a taglio

Secondo quanto riportato dal D.M. 14/01/2008 :

Elementi con armature trasversali resistenti al taglio

La resistenza a taglio V_{Rd} di elementi strutturali dotati di specifica armatura a taglio deve essere valutata sulla base di una adeguata schematizzazione a traliccio. Gli elementi resistenti dell'ideale traliccio sono: le armature trasversali, le armature longitudinali, il corrente compresso di calcestruzzo e i puntoni d'anima inclinati. L'inclinazione θ dei puntoni di calcestruzzo rispetto all'asse della trave deve rispettare i limiti seguenti:

$$1 \leq \text{ctg } \theta \leq 2,5 \quad (4.1.16)$$

La verifica di resistenza (SLU) si pone con

$$V_{Rd} \geq V_{Ed} \quad (4.1.17)$$

dove V_{Ed} è il valore di calcolo dello sforzo di taglio agente.

Con riferimento all'armatura trasversale, la resistenza di calcolo a "taglio trazione" si calcola con:

$$V_{Rsd} = 0,9 \cdot d \cdot \frac{A_{sw}}{s} \cdot f_{yd} \cdot (\text{ctg } \alpha + \text{ctg } \theta) \cdot \sin \alpha \quad (4.1.18)$$

Con riferimento al calcestruzzo d'anima, la resistenza di calcolo a "taglio compressione" si calcola con

$$V_{Rcd} = 0,9 \cdot d \cdot b_w \cdot \alpha_c \cdot f'_{cd} \cdot (\text{ctg } \alpha + \text{ctg } \theta) / (1 + \text{ctg}^2 \theta) \quad (4.1.19)$$

La resistenza al taglio della trave è la minore delle due sopra definite:

$$V_{Rd} = \min (V_{Rsd}, V_{Rcd}) \quad (4.1.20)$$

dove d , b_w e σ_{cp} hanno il significato già visto in § 4.1.2.1.3.1. e inoltre si è posto:

A_{sw}	area dell'armatura trasversale;									
s	interasse tra due armature trasversali consecutive;									
α	angolo di inclinazione dell'armatura trasversale rispetto all'asse della trave;									
f'_{cd}	resistenza a compressione ridotta del calcestruzzo d'anima ($f'_{cd} = 0,5 \cdot f_{cd}$);									
α_c	coefficiente maggiorativo pari a	<table border="0" style="margin-left: 20px;"> <tr> <td>1</td> <td>per membrature non compresse</td> </tr> <tr> <td>$1 + \sigma_{cp}/f_{cd}$</td> <td>per $0 \leq \sigma_{cp} < 0,25 f_{cd}$</td> </tr> <tr> <td>1,25</td> <td>per $0,25 f_{cd} \leq \sigma_{cp} \leq 0,5 f_{cd}$</td> </tr> <tr> <td>$2,5(1 - \sigma_{cp}/f_{cd})$</td> <td>per $0,5 f_{cd} < \sigma_{cp} < f_{cd}$</td> </tr> </table>	1	per membrature non compresse	$1 + \sigma_{cp}/f_{cd}$	per $0 \leq \sigma_{cp} < 0,25 f_{cd}$	1,25	per $0,25 f_{cd} \leq \sigma_{cp} \leq 0,5 f_{cd}$	$2,5(1 - \sigma_{cp}/f_{cd})$	per $0,5 f_{cd} < \sigma_{cp} < f_{cd}$
1	per membrature non compresse									
$1 + \sigma_{cp}/f_{cd}$	per $0 \leq \sigma_{cp} < 0,25 f_{cd}$									
1,25	per $0,25 f_{cd} \leq \sigma_{cp} \leq 0,5 f_{cd}$									
$2,5(1 - \sigma_{cp}/f_{cd})$	per $0,5 f_{cd} < \sigma_{cp} < f_{cd}$									

15. Soletta di fondazione

15.1 Verifica a flessione

Si verifica la sezione resistente della soletta di fondazione, sollecitata a momento flettente per effetto del carico del terreno insistente su di essa, del sovraccarico e della reazione scambiata all'interfaccia con il terreno d'appoggio.

Si adotta lo schema statico di mensola incastrata nel cordolo armato passante nei fori delle nervature stesse.

16. Verifiche di stabilità globale muro-terreno

16.1 Metodo di analisi

In accordo con la normativa vigente, le verifiche di stabilità sia in condizioni statiche che sismiche sono state effettuate con l'Approccio 1- Combinazione 2: A2+M2+R2 tenendo conto dei vari coefficienti parziali riportati nelle tabelle 6.2.I, 6.2.II e 6.8.I. In particolare per la condizione sismica i coefficienti parziali sulle azioni (A2) risultano essere unitari (paragrafo 7.11 NTC).

Le analisi sono state condotte con i metodi all'equilibrio limite. Il livello di sicurezza è espresso come rapporto tra la resistenza a taglio disponibile e lo sforzo di taglio mobilitato lungo la potenziale superficie di scorrimento. In particolare, nei metodi delle strisce la massa di terreno viene discretizzata in strisce verticali e si determina la superficie di scorrimento critica in corrispondenza della quale si ha il minimo coefficiente di sicurezza.

La condizione di verifica $E_d \leq R_d$ equivale ad avere un coefficiente di sicurezza in corrispondenza della superficie di scorrimento critica $F_{min} \geq \gamma_R$:

$$F = R_d/E_d \geq 1.1$$

Nelle analisi è stato adottato il metodo di Bishop: la superficie di scorrimento viene supposta circolare e determinata in modo tale da non avere intersezione con il profilo del muro. Si determina il minimo coefficiente di sicurezza su una maglia di centri di dimensioni 10x10 posta in prossimità della sommità del muro. Il numero di strisce è pari a 50.

In condizioni sismiche, la stabilità è stata analizzata mediante un approccio pseudostatico. Gli effetti del sisma sono stati quindi rappresentati con delle forze d'inerzia orizzontali e verticali applicate alla massa instabile:

$$F_h = k_h \cdot W$$

$$F_v = k_v \cdot W$$

W è il peso totale della massa di terreno al disopra della superficie di scorrimento. I coefficienti k_h e k_v vengono determinati mediante le seguenti espressioni:

$$k_h = \beta_m \cdot \frac{a_{max}}{g}$$

$$k_v = \pm 0.5 \cdot k_h$$

In base ai criteri progettuali riportati nel paragrafo 4 si sono determinati i parametri sismici impiegati nelle analisi:

a_g (g) (SLV)	0.142
Categoria di sottosuolo	B
Coefficiente di amplificazione stratigrafica S_s	1.2
Coefficiente di amplificazione topografica S_t	1.2
a_{max} (g) attesa al sito	0.204
Coefficiente di riduzione dell' a_{max} attesa al sito β_m	0.24
k_h	0.049
k_v (+/-)	0.025

Tabella 16.1 – parametri azione sismica relativi alle analisi di stabilità

I calcoli sono stati svolti mediante l'ausilio del codice di calcolo MAX 10.0 [Aztec Informatica].

16.2 Condizioni di carico

Simbologia e convenzioni di segno adottate

Carichi verticali positivi verso il basso.

Carichi orizzontali positivi verso sinistra.

Momento positivo senso antiorario.

X Ascissa del punto di applicazione del carico concentrato espressa in [m]

X_i Ascissa del punto iniziale del carico ripartito espressa in [m]

X_f Ascissa del punto finale del carico ripartito espressa in [m]

Q_i Intensità del carico per $x=X_i$ espressa in [kN/m]

Q_f Intensità del carico per $x=X_f$ espressa in [kN/m]

D / C Tipo carico : D=distribuito C=concentrato

Condizione n° 1 (Accidentale)

D Profilo $X_i=0,00$ $X_f=10,00$ $Q_i=20,0000$ $Q_f=20,0000$

Si è tenuto conto della presenza di un sovraccarico accidentale a monte del muro di sostegno.

16.3 Descrizione combinazioni di carico

Simbologia adottata

γ Coefficiente di partecipazione della condizione

Ψ Coefficiente di combinazione della condizione

C Coefficiente totale di partecipazione della condizione

Combinazione n° 4 STAB

	γ	Ψ	C
Peso proprio	1,00	1.00	1,00
Spinta terreno	1,00	1.00	1,00
Accidentale	1.30	1.00	1.30

Combinazione n° 11 STAB - Sisma Vert. positivo

	γ	Ψ	C
Peso proprio	1,00	1.00	1,00
Spinta terreno	1,00	1.00	1,00

Combinazione n° 12 STAB - Sisma Vert. negativo

	γ	Ψ	C
Peso proprio	1,00	1.00	1,00
Spinta terreno	1,00	1.00	1,00

16.4 Risultati delle analisi

I quadri riassuntivi dei coefficienti di sicurezza calcolati per le varie altezze sono di seguito riportati:

Simbologia adottata

C Identificativo della combinazione

Tipo Tipo combinazione

Sisma Combinazione sismica

CS_{STAB} Coeff. di sicurezza a stabilità globale

C	Tipo	Sisma	CS _{stab}
4	STAB - [1]	--	1,39
11	STAB - [2]	Orizzontale + Verticale positivo	1,58
12	STAB - [2]	Orizzontale + Verticale negativo	1,57

Tabella 16.2 – Stabilità globale H= 3.30m

C	Tipo	Sisma	CS _{stab}
4	STAB - [1]	--	1,35
11	STAB - [2]	Orizzontale + Verticale positiv	1,50
12	STAB - [2]	Orizzontale + Verticale negativo	1,49

Tabella 16.3 – Stabilità globale H= 3.85m

C	Tipo	Sisma	CS _{stab}
---	------	-------	--------------------

4	STAB - [1]	--	1,34
11	STAB - [2]	Orizzontale + Verticale positivo	1,45
12	STAB - [2]	Orizzontale + Verticale negativo	1,45

Tabella 16.4 – Stabilità globale H= 4.40m

La verifica di stabilità è soddisfatta in entrambe le condizioni analizzate ($F_{\min} \geq 1.1$).

I tabulati di calcolo sono riportati negli allegati in corrispondenza di ogni altezza di calcolo.

ALLEGATO A: SEZIONE 1 – H=3.30m

RELAZIONE TECNICA PER MURO DI SOSTEGNO PREFABBRICATO H = 3,30 m

Approccio 2 Muro Tipo T

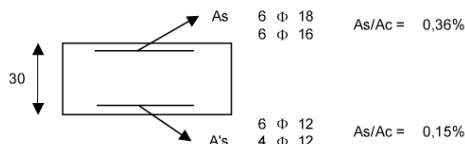
1 DATI DI PROGETTO

1a)	Dati geotecnici			
	Angolo di attrito interno	gradi	ϕ	32
	Peso specifico	daN / m3	γ	1.900
	Angolo di attrito terra - muro (valore prudenziale)	gradi	δ	21
	Angolo di inclinazione piano di campagna	gradi	ϵ	0
	Coesione	daN / cm2	c	0
1b)	Carichi agenti			
	Sovraccarico variabile stradale / ferroviario	daN / m2	qa	2.000
	Sovraccarico permanente	daN / m2	qp	0
	Forza orizzontale in testa variabile (positivo tende lato monte)	daN / elemento	fv	0
	Forza orizzontale in testa eccezionale (positivo tende lato monte)	daN / elemento	fe	2.500
	Sovraccarico sulla fondazione a monte	daN / m2	qm1	0
	Momento in testa variabile (positivo tende lato monte)	daNm / elemento	momv	0
	Momento in testa eccezionale (positivo tende lato monte)	daNm / elemento	momc	2.500
	Forza verticale in testa (positivo di compressione)	daN / elemento	N	0
	Braccio di N rispetto al paramento verticale (positivo verso nervature)	m	braccio	0,00
1c)	Dati sismici			
	Classe d'Uso		SLV	
	Vita Nominale	anni	Cu	1,5
	Periodo di Riferimento	anni	Vn	50
	Tempo di Ritorno	anni	Vr	75
	Accelerazione orizzontale massima su un sito rigido	[g]	Tr	712
	Categoria sottosuolo		ag(g)	0,142
	Categoria topografica		B	
	Fattore di amplificazione stratigrafica		T1	
	Fattore di amplificazione topografica		Ss	1,20
			St	1,00
1d)	Morfologia del muro			
	Altezza del muro	m	h1	3,30
	Distanza tra il punto di ribaltamento e il baricentro dell'elemento prefabbricato	m	X _C	0,83
	Distanza tra il baricentro del pannello e la soletta	m		0,13
	Peso elemento prefabbricato	daN	P	2,675
	Angolo di inclinazione parete prefabbricato rispetto l'orizzontale	gradi	b	90
	Larghezza elemento prefabbricato	m	b1	2,50
	Dimensione appoggio muro	m	appoggio	0,66
	Altezza sezione in sommità (tratto a sezione costante)	m		0,30
	Pendenza nervatura	m	pendenza	20%
	Larghezza nervatura / e	m	s	0,30
	Spessore soletta	m	sol	0,10
1e)	Morfologia della fondazione			
	Spessore massimo soletta di fondazione	m	h2	0,30
	Spessore minimo soletta di fondazione lato monte	m	h3	0,30
	Spessore minimo soletta di fondazione lato valle	m	h4	0,30
	Larghezza fondazione	m	l	2,90
	Dimensione sbalzo anteriore	m	sbalzo	0,70
	Larghezza suola fondazione a monte	m	l1	2,10
	Larghezza suola fuori nervatura	m	fo	1,60
	Larghezza sottofondazione	m	lf	0,00
	Altezza sottofondazione	m	hf	0,00
	Sbalzo a valle sottofondazione	m	sbf	0,00
1f)	Dati geotecnici terreno di fondazione			
	Angolo di attrito interno	gradi	ϕ	28
	Peso specifico	daN / m3	γ	1.800
	Coesione	daN / cm2	c	0
	Ricoprimento fondazione a valle	m	hr	0,70

2 VERIFICHE DI STABILITA' LOCALE

2a)	Verifica a traslazione	combinazione dimensionante	A1+M1	k_T	1,21	> 1,10
2b)	Verifica a ribaltamento	combinazione dimensionante	EQ	k_R	1,92	> 1,00
2c)	Verifica a capacità portante	combinazione dimensionante	A1+M1	k_P	1,67	> 1,40
				σ_{Tmax}	1,05	daN / cm2
				σ_{Tmin}	0,05	daN / cm2

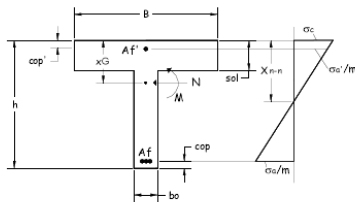
3 VERIFICHE FONDAZIONE



3a)	<u>Verifica fondazione di monte SLU (sezione d'incastro)</u>	M_u / M_d	1,22
	<u>Verifica fondazione di monte SISMICO (sezione d'incastro)</u>	M_u / M_d	3,99
3b)	<u>Verifica fondazione di valle SLU (sezione d'incastro)</u>	M_u / M_d	1,89
	<u>Verifica fondazione di valle SISMICO (sezione d'incastro)</u>	M_u / M_d	3,37
3c)	<u>Verifica fondazione di monte SLE RARA (sezione d'incastro)</u>	σ_c [daN / cm ²]	4 < σ_c lim 150
		σ_s [daN / cm ²]	134 < σ_s lim 3520
	<u>Verifica fondazione di monte SLE FREQUENTE (sezione d'incastro)</u>	Mcr [daNm]	8.057 > Me -64,753
	<u>Verifica fondazione di monte SLE QUASI PERMANENTE (sezione d'incastro)</u>	σ_c [daN / cm ²]	-2 < σ_c lim 112,5
		Mcr [daNm]	8.057 > Me -447,92

4 VERIFICHE PREFABBRICATO :

4a) Verifica prefabbricato



Af'	4	Φ 10		
Af1	4	Φ 18		
Af2	4	Φ 22	L 2	2,30 m
Af3	0	Φ 0	L 3	0,00 m
Af4	0	Φ 0	L 4	0,00 m
Af5	0	Φ 0	L 5	0,00 m

SLU								Ka		STAFFE		
d	h	A _s	A _i	M _{Sd}	N _{Sd}	M _u	M _u /M _{Sd}	V _{rsd}	V _{rcd}	V _{sd}	diam. [mm]	passo [cm]
cm	cm	cm ²	cm ²	daN m	daN	daNm	>1,00	daN	daN	daN	6	30
150	30	10,18	3,14	9304	1338	9727	1,05	10942	36290	7401		
164	32,7	15,21	3,14	10322	1459	15811	1,53	12119	40191	8019		
2	300	60,0	3,14	25765	2675	31381	1,22	23917	79321	15767		
3												
4												
5												

SISMICO								Ka		STAFFE		
d	h	A _s	A _i	M _{Sd}	N _{Sd}	M _u	M _u /M _{Sd}	V _{rsd}	V _{rcd}	V _{sd}	diam. [mm]	passo [cm]
cm	cm	cm ²	cm ²	daN m	daN	daNm	>1,00	daN	daN	daN	6	30
150	30	10,18	3,14	7945	1338	9727	1,22	10942	36290	5216		
164	32,7	15,21	3,14	8692	1459	15811	1,82	12119	40191	5616		
2	300	60,0	3,14	19869	2675	31381	1,58	23917	79321	11018		
3												
4												
5												

SLE						FREQUENTE			RARA		
d	h	A _s	A _i	Ka	Mcr	Me	esm	wk<0,3	$\sigma_c < 210$	$\sigma_s < 3520$	
cm	cm	cm ²	cm ²	daN m	mm	daNm	mm	mm	daN/cm ²	daN/cm ²	
150	30	10,18	3,14	3255	-	1406	-	Mcr>Me	14	806	
164	32,7	15,21	3,14	4698	-	1747	-	Mcr>Me	13	605	
2	300	60,0	3,14	12049	-	8358	-	Mcr>Me	19	1321	
3											
4											
5											

QUASI PERMANENTE			
Me	esm-cm	wk<0,2	$\sigma_c < 157,5$
daNm	mm	mm	daN/cm ²
1118	-	Mcr>Me	7
1404	-	Mcr>Me	7
7205	-	Mcr>Me	12

4b)	<u>Verifica soletta nel piano orizzontale SLU</u>	10 Φ 6	M_u / M_d 2,14
	<u>Verifica soletta nel piano orizzontale SISMICO</u>		M_u / M_d 2,95
	<u>Verifica soletta nel piano orizzontale SLE RARA</u>	σ_c [daN / cm ²]	35 < σ_c lim 210
		σ_s [daN / cm ²]	1.292 < σ_s lim 3520
	<u>Verifica soletta nel piano orizzontale SLE FREQUENTE</u>	Mcr [daNm]	59 > Me 29
	<u>Verifica soletta nel piano orizzontale SLE QUASI PERMANENTE</u>	σ_c [daN / cm ²]	28 < σ_c lim 157,5
		Mcr [daNm]	59 > Me 27

VERIFICHE DI STABILITÀ GLOBALE MURO-TERRENO (H=3.30M)

Quadro riassuntivo coeff. di sicurezza calcolati

Simbologia adottata

C Identificativo della combinazione

Tipo Tipo combinazione

Sisma Combinazione sismica

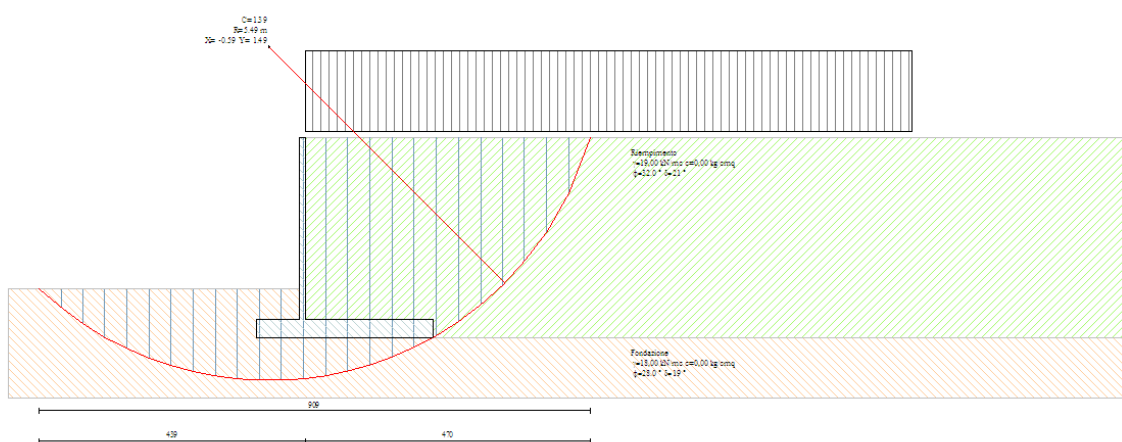
CS_{SCO} Coeff. di sicurezza allo scorrimento

CS_{RIB} Coeff. di sicurezza al ribaltamento

CS_{QLIM} Coeff. di sicurezza a carico limite

CS_{STAB} Coeff. di sicurezza a stabilità globale

C	Tipo	Sisma	CS_{Stab}
4	STAB - [1]	--	1,39
11	STAB - [2]	Orizzontale + Verticale positivo	1,58
12	STAB - [2]	Orizzontale + Verticale negativo	1,57



Geometria muro e fondazione

Descrizione	Muro a mensola in c.a.
Altezza del paramento	3,00 [m]
Spessore in sommità	0,10 [m]
Spessore all'attacco con la fondazione	0,10 [m]
Inclinazione paramento esterno	0,00 [°]
Inclinazione paramento interno	0,00 [°]
Lunghezza del muro	2,50 [m]

Spessore rivestimento	0,30 [m]
Peso sp. rivestimento	25,0000 [kN/mc]

Fondazione

Lunghezza mensola fondazione di valle	0,70 [m]
Lunghezza mensola fondazione di monte	2,10 [m]
Lunghezza totale fondazione	2,90 [m]
Inclinazione piano di posa della fondazione	0,00 [°]
Spessore fondazione	0,30 [m]
Spessore magrone	0,15 [m]

Contrafforti

Altezza contrafforti	3,00 [m]
Spessore contrafforti	0,15 [m]
Larghezza in sommità	0,20 [m]
Larghezza alla base	0,50 [m]
Interasse contrafforti	1,50 [m]
Numero contrafforti	2
Posizione :	Monte
Disposizione :	Sfalsati

Materiali utilizzati per la struttura

Calcestruzzo

Peso specifico	24,517 [kN/mc]
Resistenza caratteristica a compressione R_{bk}	250,0 [kg/cmq]

Acciaio

Tipo	FeB44K
------	--------

Geometria profilo terreno a monte del muro

Simbologia adottata e sistema di riferimento

(Sistema di riferimento con origine in testa al muro, ascissa X positiva verso monte, ordinata Y positiva verso l'alto)

N numero ordine del punto

X ascissa del punto espressa in [m]

Y ordinata del punto espressa in [m]

A inclinazione del tratto espressa in [°]

N	X	Y	A
1	20,00	0,00	0,00

Terreno a valle del muro

Inclinazione terreno a valle del muro rispetto all'orizzontale 0,00 [°]

Altezza del rinterro rispetto all'attacco fondaz.valle-paramento 0,50 [m]

Descrizione terreni

Simbologia adottata

Nr. Indice del terreno

Descrizione Descrizione terreno

γ Peso di volume del terreno espresso in [kN/mc]

γ_s Peso di volume saturo del terreno espresso in [kN/mc]

ϕ Angolo d'attrito interno espresso in [°]

δ Angolo d'attrito terra-muro espresso in [°]

c Coesione espressa in [kg/cm²]

c_a Adesione terra-muro espressa in [kg/cm²]

Descrizione	γ	γ_s	ϕ	δ	c	c_a
Riempimento	19,00	19,00	32.00	21.33	0,000	0,000
Fondazione	18,00	18,00	28.00	18.67	0,000	0,000

Stratigrafia

Terreno spingente: Riempimento

Terreno di fondazione: Fondazione

Stabilità globale muro + terreno

Combinazione n° 4

Le ascisse X sono considerate positive verso monte

Le ordinate Y sono considerate positive verso l'alto

Origine in testa al muro (spigolo contro terra)

W peso della striscia espresso in [kN]

α angolo fra la base della striscia e l'orizzontale espresso in [°] (positivo antiorario)

ϕ angolo d'attrito del terreno lungo la base della striscia

c coesione del terreno lungo la base della striscia espressa in [kg/cm²]

b larghezza della striscia espressa in [m]

u pressione neutra lungo la base della striscia espressa in [kg/cm²]

Metodo di Bishop

Numero di cerchi analizzati 36

Numero di strisce 25

Cerchio critico

Coordinate del centro $X[m] = -0,59$ $Y[m] = 1,49$

Raggio del cerchio $R[m] = 5,49$

Ascissa a valle del cerchio $X_i[m] = -4,39$

Ascissa a monte del cerchio $X_s[m] = 4,70$

Larghezza della striscia $dx[m] = 0,36$

Coefficiente di sicurezza $C = 1.39$

Le strisce sono numerate da monte verso valle

Caratteristiche delle strisce

Striscia	W	$\alpha(^{\circ})$	$W \sin \alpha$	$b / \cos \alpha$	ϕ	c	u
1	1290.67	68.57	1201.42	1.00	26.56	0.000	0.000
2	1840.16	60.13	1595.64	0.73	26.56	0.000	0.000
3	2234.20	53.15	1787.85	0.61	26.56	0.000	0.000
4	2543.53	47.19	1866.11	0.54	26.56	0.000	0.000
5	2796.67	41.86	1866.09	0.49	26.56	0.000	0.000
6	3007.79	36.93	1807.40	0.46	26.56	0.000	0.000
7	3185.18	32.32	1702.80	0.43	26.56	0.000	0.000
8	3383.49	27.93	1584.54	0.41	23.65	0.000	0.000
9	3511.58	23.71	1411.82	0.40	23.04	0.000	0.000
10	3608.57	19.62	1211.72	0.39	23.04	0.000	0.000
11	3686.12	15.64	993.55	0.38	23.04	0.000	0.000
12	3745.53	11.73	761.44	0.37	23.04	0.000	0.000
13	3765.52	7.88	516.07	0.37	23.04	0.000	0.000
14	1591.85	4.06	112.72	0.36	23.04	0.000	0.000
15	1099.81	0.26	5.03	0.36	23.04	0.000	0.000
16	1035.12	-3.54	-63.83	0.36	23.04	0.000	0.000
17	1003.12	-7.35	-128.30	0.37	23.04	0.000	0.000
18	963.44	-11.19	-187.05	0.37	23.04	0.000	0.000
19	906.68	-15.09	-236.09	0.38	23.04	0.000	0.000
20	831.99	-19.07	-271.76	0.38	23.04	0.000	0.000
21	738.17	-23.13	-290.02	0.40	23.04	0.000	0.000
22	623.55	-27.33	-286.31	0.41	23.12	0.000	0.000
23	481.52	-31.70	-253.01	0.43	26.56	0.000	0.000
24	308.32	-36.28	-182.45	0.45	26.56	0.000	0.000
25	102.27	-41.15	-67.30	0.48	26.56	0.000	0.000

$\Sigma W_i = 473,5202$ [kN]

$\Sigma W_i \sin \alpha_i = 161,4011$ [kN]

$\Sigma W_i \tan \phi_i = 214,8474$ [kN]

$$\Sigma \tan \alpha_i \tan \phi_i = 3.42$$

Stabilità globale muro + terreno

Combinazione n° 11

Le ascisse X sono considerate positive verso monte

Le ordinate Y sono considerate positive verso l'alto

Origine in testa al muro (spigolo contro terra)

- W peso della striscia espresso in [kN]
- α angolo fra la base della striscia e l'orizzontale espresso in [°] (positivo antiorario)
- ϕ angolo d'attrito del terreno lungo la base della striscia
- c coesione del terreno lungo la base della striscia espressa in [kg/cmq]
- b larghezza della striscia espressa in [m]
- u pressione neutra lungo la base della striscia espressa in [kg/cmq]

Metodo di Bishop

Numero di cerchi analizzati 36

Numero di strisce 25

Cerchio critico

Coordinate del centro X[m]= -0,30 Y[m]= 1,49

Raggio del cerchio R[m]= 5,35

Ascissa a valle del cerchio Xi[m]= -3,88

Ascissa a monte del cerchio Xs[m]= 4,85

Larghezza della striscia dx[m]= 0,35

Coefficiente di sicurezza C= 1.58

Le strisce sono numerate da monte verso valle

Caratteristiche delle strisce

Striscia	W	$\alpha(^{\circ})$	$W \sin \alpha$	$b / \cos \alpha$	ϕ	c	u
1	299.53	68.46	278.62	0.95	26.56	0.000	0.000
2	803.49	59.96	695.57	0.70	26.56	0.000	0.000
3	1165.41	53.11	932.07	0.58	26.56	0.000	0.000
4	1450.74	47.24	1065.13	0.51	26.56	0.000	0.000
5	1684.90	41.97	1126.78	0.47	26.56	0.000	0.000
6	1880.67	37.11	1134.74	0.44	26.56	0.000	0.000
7	2045.56	32.55	1100.56	0.41	26.56	0.000	0.000
8	2191.63	28.21	1035.98	0.40	26.16	0.000	0.000
9	2356.29	24.04	959.93	0.38	23.04	0.000	0.000
10	2447.43	20.00	837.25	0.37	23.04	0.000	0.000
11	2520.77	16.07	697.75	0.36	23.04	0.000	0.000
12	2577.49	12.21	545.17	0.36	23.04	0.000	0.000

13	2618.44	8.41	382.90	0.35	23.04	0.000	0.000
14	2711.61	4.64	219.50	0.35	23.04	0.000	0.000
15	1369.49	0.90	21.46	0.35	23.04	0.000	0.000
16	962.12	-2.84	-47.73	0.35	23.04	0.000	0.000
17	891.55	-6.60	-102.43	0.35	23.04	0.000	0.000
18	846.79	-10.38	-152.57	0.36	23.04	0.000	0.000
19	797.92	-14.21	-195.86	0.36	23.04	0.000	0.000
20	732.96	-18.10	-227.76	0.37	23.04	0.000	0.000
21	650.90	-22.09	-244.76	0.38	23.04	0.000	0.000
22	549.83	-26.19	-242.66	0.39	24.52	0.000	0.000
23	423.25	-30.44	-214.45	0.41	26.56	0.000	0.000
24	271.35	-34.89	-155.21	0.43	26.56	0.000	0.000
25	91.15	-39.60	-58.09	0.45	26.56	0.000	0.000

$$\Sigma W_i = 336,7781 \text{ [kN]}$$

$$\Sigma W_i \sin \alpha_i = 92,1043 \text{ [kN]}$$

$$\Sigma W_i \tan \phi_i = 152,2288 \text{ [kN]}$$

$$\Sigma \tan \alpha_i \tan \phi_i = 3.56$$

Stabilità globale muro + terreno

Combinazione n° 12

Le ascisse X sono considerate positive verso monte

Le ordinate Y sono considerate positive verso l'alto

Origine in testa al muro (spigolo contro terra)

W peso della striscia espresso in [kN]

α angolo fra la base della striscia e l'orizzontale espresso in [°] (positivo antiorario)

ϕ angolo d'attrito del terreno lungo la base della striscia

c coesione del terreno lungo la base della striscia espressa in [kg/cmq]

b larghezza della striscia espressa in [m]

u pressione neutra lungo la base della striscia espressa in [kg/cmq]

Metodo di Bishop

Numero di cerchi analizzati 36

Numero di strisce 25

Cerchio critico

Coordinate del centro X[m]= -0,30 Y[m]= 1,49

Raggio del cerchio R[m]= 5,35

Ascissa a valle del cerchio Xi[m]= -3,88

Ascissa a monte del cerchio Xs[m]= 4,85

Larghezza della striscia $dx[m]= 0,35$
 Coefficiente di sicurezza $C= 1.57$
 Le strisce sono numerate da monte verso valle

Caratteristiche delle strisce

Striscia	W	$\alpha(^{\circ})$	$W\sin\alpha$	$b/\cos\alpha$	ϕ	c	u
1	299.53	68.46	278.62	0.95	26.56	0.000	0.000
2	803.49	59.96	695.57	0.70	26.56	0.000	0.000
3	1165.41	53.11	932.07	0.58	26.56	0.000	0.000
4	1450.74	47.24	1065.13	0.51	26.56	0.000	0.000
5	1684.90	41.97	1126.78	0.47	26.56	0.000	0.000
6	1880.67	37.11	1134.74	0.44	26.56	0.000	0.000
7	2045.56	32.55	1100.56	0.41	26.56	0.000	0.000
8	2191.63	28.21	1035.98	0.40	26.16	0.000	0.000
9	2356.29	24.04	959.93	0.38	23.04	0.000	0.000
10	2447.43	20.00	837.25	0.37	23.04	0.000	0.000
11	2520.77	16.07	697.75	0.36	23.04	0.000	0.000
12	2577.49	12.21	545.17	0.36	23.04	0.000	0.000
13	2618.44	8.41	382.90	0.35	23.04	0.000	0.000
14	2711.61	4.64	219.50	0.35	23.04	0.000	0.000
15	1369.49	0.90	21.46	0.35	23.04	0.000	0.000
16	962.12	-2.84	-47.73	0.35	23.04	0.000	0.000
17	891.55	-6.60	-102.43	0.35	23.04	0.000	0.000
18	846.79	-10.38	-152.57	0.36	23.04	0.000	0.000
19	797.92	-14.21	-195.86	0.36	23.04	0.000	0.000
20	732.96	-18.10	-227.76	0.37	23.04	0.000	0.000
21	650.90	-22.09	-244.76	0.38	23.04	0.000	0.000
22	549.83	-26.19	-242.66	0.39	24.52	0.000	0.000
23	423.25	-30.44	-214.45	0.41	26.56	0.000	0.000
24	271.35	-34.89	-155.21	0.43	26.56	0.000	0.000
25	91.15	-39.60	-58.09	0.45	26.56	0.000	0.000

$\Sigma W_i = 336,7781$ [kN]

$\Sigma W_i \sin \alpha_i = 92,1043$ [kN]

$\Sigma W_i \tan \phi_i = 152,2288$ [kN]

$\Sigma \tan \alpha_i \tan \phi_i = 3.56$

ALLEGATO B: SEZIONE 2 – H=3.85m

RELAZIONE TECNICA PER MURO DI SOSTEGNO PREFABBRICATO H = 3,85 m

Approccio **2** Muro Tipo **T**

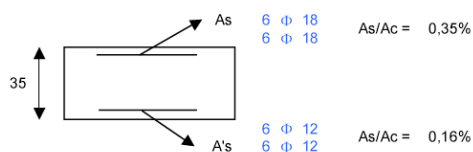
1 DATI DI PROGETTO

1a)	Dati geotecnici			
	Angolo di attrito interno	gradi	ϕ	32
	Peso specifico	daN / m3	γ	1.900
	Angolo di attrito terra - muro (valore prudenziale)	gradi	δ	21
	Angolo di inclinazione piano di campagna	gradi	ε	0
	Coesione	daN / cm2	c	0
1b)	Carichi agenti			
	Sovraccarico variabile stradale / ferroviario	daN / m2	qa	2.000
	Sovraccarico permanente	daN / m2	qp	0
	Forza orizzontale in testa variabile (positivo tende lato monte)	daN / elemento	fv	0
	Forza orizzontale in testa eccezionale (positivo tende lato monte)	daN / elemento	fe	2.500
	Sovraccarico sulla fondazione a monte	daN / m2	q1	0
	Momento in testa variabile (positivo tende lato monte)	daNm / elemento	momv	0
	Momento in testa eccezionale (positivo tende lato monte)	daNm / elemento	mome	2.500
	Forza verticale in testa (positivo di compressione)	daN / elemento	N	0
	Braccio di N rispetto al paramento verticale (positivo verso nervature)	m	braccio	0,00
1c)	Dati sismici			
	Classe d'Uso		SLV	
	Vita Nominale	anni	Cu	1,5
	Periodo di Riferimento	anni	Vn	50
	Tempo di Ritorno	anni	Vr	75
	Accelerazione orizzontale massima su un sito rigido	[g]	Tr	712
	Categoria sottosuolo		ag(g)	0,142
	Categoria topografica			B
	Fattore di amplificazione stratigrafica		Ss	1,20
	Fattore di amplificazione topografica		St	1,00
1d)	Morfologia del muro			
	Altezza del muro	m	h1	3,85
	Distanza tra il punto di ribaltamento e il baricentro dell'elemento prefabbricato	m	X _G	0,85
	Distanza tra il baricentro del pannello e la soletta	m		0,15
	Peso elemento prefabbricato	daN	P	3.225
	Angolo di inclinazione parete prefabbricato rispetto l'orizzontale	gradi	b	90
	Larghezza elemento prefabbricato	m	b1	2,50
	Dimensione appoggio muro	m	appoggio	0,77
	Altezza sezione in sommità (tratto a sezione costante)	m		0,30
	Pendenza nervatura	m	pendenza	20%
	Larghezza nervatura / e	m	s	0,30
	Spessore soletta	m	sol	0,10
1e)	Morfologia della fondazione			
	Spessore massimo soletta di fondazione	m	h2	0,35
	Spessore minimo soletta di fondazione lato monte	m	h3	0,35
	Spessore minimo soletta di fondazione lato valle	m	h4	0,35
	Larghezza fondazione	m	l	3,10
	Dimensione sbalzo anteriore	m	sbalzo	0,70
	Larghezza suola fondazione a monte	m	l1	2,30
	Larghezza suola fuori nervatura	m	fo	1,70
	Larghezza sottofondazione	m	lf	0,00
	Altezza sottofondazione	m	hf	0,00
	Sbalzo a valle sottofondazione	m	sbf	0,00
1f)	Dati geotecnici terreno di fondazione			
	Angolo di attrito interno	gradi	ϕ	28
	Peso specifico	daN / m3	γ	1.800
	Coesione	daN / cm2	c	0
	Ricoprimento fondazione a valle	m	hr	0,70

2 VERIFICHE DI STABILITA' LOCALE

2a)	Verifica a traslazione	combinazione dimensionante	A1+M1	k _T	1,24	> 1,10
2b)	Verifica a ribaltamento	combinazione dimensionante	EQ	k _R	1,94	> 1,00
2c)	Verifica a capacità portante	combinazione dimensionante	A1+M1	k _p	1,51	> 1,40
				σ_{Tmax}	1,24	daN / cm2
				σ_{Tmin}	0,06	daN / cm2

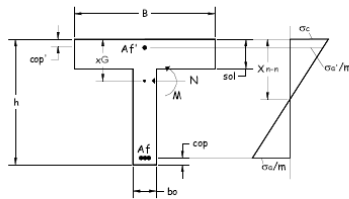
3 VERIFICHE FONDAZIONE



3a)	<u>Verifica fondazione di monte SLU (sezione d'incastro)</u>	M_u, M_d	1,26
	<u>Verifica fondazione di monte SISMICO (sezione d'incastro)</u>	M_u, M_d	3,47
3b)	<u>Verifica fondazione di valle SLU (sezione d'incastro)</u>	M_u, M_d	2,26
	<u>Verifica fondazione di valle SISMICO (sezione d'incastro)</u>	M_u, M_d	3,82
3c)	<u>Verifica fondazione di monte SLE RARA (sezione d'incastro)</u>	σ_c [daN / cm ²]	6 < σ_c lim 150
		σ_s [daN / cm ²]	245 < σ_s lim 3520
	<u>Verifica fondazione di monte SLE FREQUENTE (sezione d'incastro)</u>	Mcr [daNm]	11.026 > Me 755,032
	<u>Verifica fondazione di monte SLE QUASI PERMANENTE (sezione d'incastro)</u>	σ_c [daN / cm ²]	1 < σ_c lim 112,5
		Mcr [daNm]	11.026 > Me 189,641

4 VERIFICHE PREFABBRICATO :

4a) Verifica prefabbricato



Af'	4	Φ 10	
Af 1	4	Φ 18	
Af 2	4	Φ 18	L 2 2,35 m
Af 3	4	Φ 14	L 3 1,24 m
Af 4	0	Φ 0	L 4 0,00 m
Af 5	0	Φ 0	L 5 0,00 m

SLU								STAFFE			
d	h	A _s	A _t	M _{sld}	N _{sld}	Ka	Mu	Mu/M _{sld}	Vrsd	Vrcd	Vsd
cm	cm	cm ²	cm ²	daN m	daN	daNm	>1,00		daN	daN	daN
143	30	10,18	3,14	8823	1319	9720	1,10	11029	36577	7102	
159	31,8	10,18	3,14	9971	1466	10410	1,04	11814	39181	7808	
255	50,9	16,34	3,14	19438	2346	28050	1,44	20072	66566	12866	
350	70,0	16,34	3,14	34322	3225	39875	1,16	28329	93952	19328	

SISMICO								STAFFE			
d	h	A _s	A _t	M _{sld}	N _{sld}	Ka	Mu	Mu/M _{sld}	Vrsd	Vrcd	Vsd
cm	cm	cm ²	cm ²	daN m	daN	daNm	>1,00		daN	daN	daN
143	30	10,18	3,14	7626	1319	9720	1,27	11029	36577	5070	
159	31,8	10,18	3,14	8479	1466	10410	1,23	11814	39181	5529	
255	50,9	16,34	3,14	15405	2346	28050	1,82	20072	66566	9011	
350	70,0	16,34	3,14	26292	3225	39875	1,52	28329	93952	13740	

SLE					FREQUENTE			RARA		
d	h	A _s	A _t	Ka	Me	esm	wk<0,3	σ _c <210	σ _s <3520	
cm	cm	cm ²	cm ²	daN m	daNm	mm	wk	σ _c	σ _s	
143	30	10,18	3,14	3266	-	1252	Mcr>Me	13	714	
159	31,8	10,18	3,14	3590	-	1627	Mcr>Me	14	856	
255	50,9	16,34	3,14	9725	0	5421	Mcr>Me	16	979	
350	70,0	16,34	3,14	15850	-	12618	Mcr>Me	21	1585	

QUASI PERMANENTE			
Me	esm=cm	wk	σ _c <157,5
daNm	mm	mm	daN/cm ²
989	-	Mcr>Me	7
1303	-	Mcr>Me	8
4590	-	Mcr>Me	10
11049	-	Mcr>Me	14

4b)	<u>Verifica soletta nel piano orizzontale SLU</u>	10 Φ 6	M_u, M_d	1,91
	<u>Verifica soletta nel piano orizzontale SISMICO</u>		M_u, M_d	2,56
	<u>Verifica soletta nel piano orizzontale SLE RARA</u>	σ_c [daN / cm ²]	39 < σ_c lim 210	
		σ_s [daN / cm ²]	1.457 < σ_s lim 3520	
	<u>Verifica soletta nel piano orizzontale SLE FREQUENTE</u>	Mcr [daNm]	69 > Me 38	
	<u>Verifica soletta nel piano orizzontale SLE QUASI PERMANENTE</u>	σ_c [daN / cm ²]	33 < σ_c lim 157,5	
		Mcr [daNm]	69 > Me 36	

VERIFICHE DI STABILITÀ GLOBALE MURO-TERRENO (H=3.85m)

Quadro riassuntivo coeff. di sicurezza calcolati

Simbologia adottata

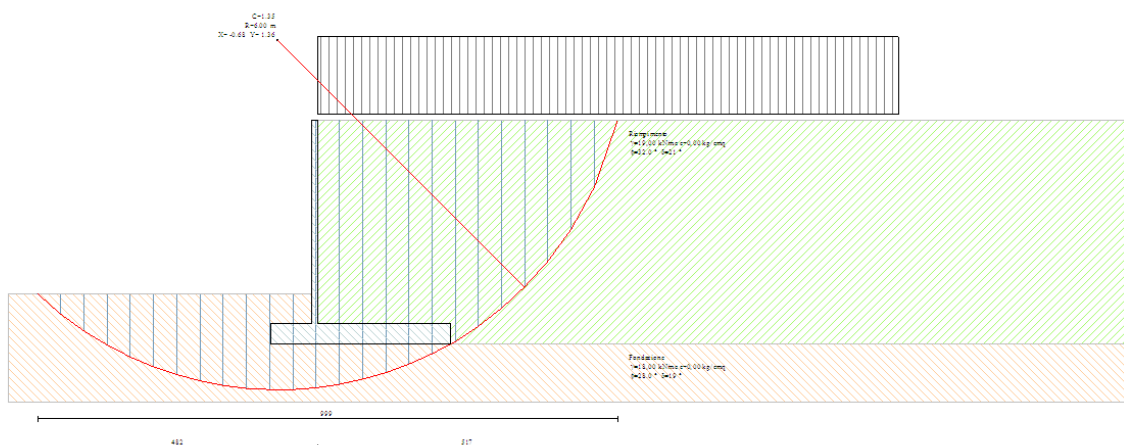
C Identificativo della combinazione

Tipo Tipo combinazione

Sisma Combinazione sismica

CS_{STAB} Coeff. di sicurezza a stabilità globale

C	Tipo	Sisma	CS _{stab}
4	STAB - [1]	--	1,35
11	STAB - [2]	Orizzontale + Verticale positivo	1,50
12	STAB - [2]	Orizzontale + Verticale negativo	1,49



Geometria muro e fondazione

Descrizione	Muro a mensola in c.a.
Altezza del paramento	3,50 [m]
Spessore in sommità	0,10 [m]
Spessore all'attacco con la fondazione	0,10 [m]
Inclinazione paramento esterno	0,00 [°]
Inclinazione paramento interno	0,00 [°]
Lunghezza del muro	2,50 [m]
Spessore rivestimento	0,30 [m]
Peso sp. rivestimento	25,0000 [kN/mc]

Fondazione

Lunghezza mensola fondazione di valle	0,70 [m]
Lunghezza mensola fondazione di monte	2,30 [m]
Lunghezza totale fondazione	3,10 [m]
Inclinazione piano di posa della fondazione	0,00 [°]
Spessore fondazione	0,35 [m]
Spessore magrone	0,20 [m]

Contrafforti

Altezza contrafforti	3,50 [m]
Spessore contrafforti	0,15 [m]
Larghezza in sommità	0,20 [m]
Larghezza alla base	0,60 [m]
Interasse contrafforti	1,50 [m]
Numero contrafforti	2
Posizione :	Monte
Disposizione :	Sfalsati

Materiali utilizzati per la struttura

Calcestruzzo

Peso specifico	24,517 [kN/mc]
Resistenza caratteristica a compressione R_{bk}	250,0 [kg/cmq]

Acciaio

Tipo	FeB44K
------	--------

Geometria profilo terreno a monte del muro

Simbologia adottata e sistema di riferimento

(Sistema di riferimento con origine in testa al muro, ascissa X positiva verso monte, ordinata Y positiva verso l'alto)

N numero ordine del punto

X ascissa del punto espressa in [m]

Y ordinata del punto espressa in [m]

A inclinazione del tratto espressa in [°]

N	X	Y	A
1	20,00	0,00	0,00

Terreno a valle del muro

Inclinazione terreno a valle del muro rispetto all'orizzontale 0,00 [°]
 Altezza del rinterro rispetto all'attacco fondaz.valle-paramento 0,50 [m]

Descrizione terreni

Simbologia adottata

<i>Nr.</i>	Indice del terreno
<i>Descrizione</i>	Descrizione terreno
γ	Peso di volume del terreno espresso in [kN/mc]
γ_s	Peso di volume saturo del terreno espresso in [kN/mc]
ϕ	Angolo d'attrito interno espresso in [°]
δ	Angolo d'attrito terra-muro espresso in [°]
<i>c</i>	Coesione espressa in [kg/cm ²]
<i>c_a</i>	Adesione terra-muro espressa in [kg/cm ²]

Descrizione	γ	γ_s	ϕ	δ	<i>c</i>	<i>c_a</i>
Riempimento	19,00	19,00	32,00	21,33	0,000	0,000
Fondazione	18,00	18,00	28,00	18,67	0,000	0,000

Stratigrafia

Terreno spingente: Riempimento
 Terreno di fondazione: Fondazione

Stabilità globale muro + terreno

Combinazione n° 4

Le ascisse X sono considerate positive verso monte

Le ordinate Y sono considerate positive verso l'alto

Origine in testa al muro (spigolo contro terra)

<i>W</i>	peso della striscia espresso in [kN]
α	angolo fra la base della striscia e l'orizzontale espresso in [°] (positivo antiorario)
ϕ	angolo d'attrito del terreno lungo la base della striscia
<i>c</i>	coesione del terreno lungo la base della striscia espressa in [kg/cm ²]
<i>b</i>	larghezza della striscia espressa in [m]
<i>u</i>	pressione neutra lungo la base della striscia espressa in [kg/cm ²]

Metodo di Bishop

Numero di cerchi analizzati 36
 Numero di strisce 25

Cerchio critico

Coordinate del centro X[m]= -0,68 Y[m]= 1,36

Raggio del cerchio $R[m]= 6,00$
 Ascissa a valle del cerchio $Xi[m]= -4,82$
 Ascissa a monte del cerchio $Xs[m]= 5,17$
 Larghezza della striscia $dx[m]= 0,40$
 Coefficiente di sicurezza $C= 1.35$
 Le strisce sono numerate da monte verso valle

Caratteristiche delle strisce

Striscia	W	$\alpha(^{\circ})$	$W\sin\alpha$	$b/\cos\alpha$	ϕ	c	u
1	1504.18	70.81	1420.61	1.22	26.56	0.000	0.000
2	2231.57	61.31	1957.68	0.83	26.56	0.000	0.000
3	2727.98	54.08	2209.34	0.68	26.56	0.000	0.000
4	3113.33	47.98	2312.97	0.60	26.56	0.000	0.000
5	3427.05	42.54	2317.10	0.54	26.56	0.000	0.000
6	3687.96	37.55	2247.42	0.50	26.56	0.000	0.000
7	3906.86	32.87	2120.29	0.48	26.56	0.000	0.000
8	4151.90	28.43	1976.51	0.45	23.75	0.000	0.000
9	4312.70	24.17	1765.65	0.44	23.04	0.000	0.000
10	4432.47	20.05	1519.35	0.43	23.04	0.000	0.000
11	4528.45	16.03	1250.55	0.42	23.04	0.000	0.000
12	4602.26	12.10	964.34	0.41	23.04	0.000	0.000
13	4640.74	8.22	663.26	0.40	23.04	0.000	0.000
14	1917.66	4.38	146.33	0.40	23.04	0.000	0.000
15	1317.42	0.56	12.78	0.40	23.04	0.000	0.000
16	1229.67	-3.26	-69.98	0.40	23.04	0.000	0.000
17	1203.07	-7.10	-148.61	0.40	23.04	0.000	0.000
18	1156.43	-10.96	-219.88	0.41	23.04	0.000	0.000
19	1089.10	-14.88	-279.63	0.41	23.04	0.000	0.000
20	1000.07	-18.87	-323.40	0.42	23.04	0.000	0.000
21	887.89	-22.95	-346.28	0.43	23.04	0.000	0.000
22	750.56	-27.17	-342.74	0.45	23.04	0.000	0.000
23	581.21	-31.55	-304.15	0.47	26.22	0.000	0.000
24	373.19	-36.16	-220.17	0.49	26.56	0.000	0.000
25	125.40	-41.05	-82.35	0.53	26.56	0.000	0.000

$\Sigma W_i= 577,6121$ [kN]
 $\Sigma W_i\sin\alpha_i= 201,5005$ [kN]
 $\Sigma W_i\tan\phi_i= 262,0994$ [kN]
 $\Sigma \tan\alpha_i\tan\phi_i= 3.74$

Stabilità globale muro + terreno

Combinazione n° 11

Le ascisse X sono considerate positive verso monte

Le ordinate Y sono considerate positive verso l'alto

Origine in testa al muro (spigolo contro terra)

- W peso della striscia espresso in [kN]
- α angolo fra la base della striscia e l'orizzontale espresso in [°] (positivo antiorario)
- ϕ angolo d'attrito del terreno lungo la base della striscia
- c coesione del terreno lungo la base della striscia espressa in [kg/cmq]
- b larghezza della striscia espressa in [m]
- u pressione neutra lungo la base della striscia espressa in [kg/cmq]

Metodo di Bishop

Numero di cerchi analizzati 36

Numero di strisce 25

Cerchio critico

Coordinate del centro X[m]= -0,34 Y[m]= 1,36

Raggio del cerchio R[m]= 5,84

Ascissa a valle del cerchio Xi[m]= -4,24

Ascissa a monte del cerchio Xs[m]= 5,35

Larghezza della striscia dx[m]= 0,38

Coefficiente di sicurezza C= 1.50

Le strisce sono numerate da monte verso valle

Caratteristiche delle strisce

Striscia	W	$\alpha(^{\circ})$	$W\sin\alpha$	$b/\cos\alpha$	ϕ	c	u
1	404.55	70.60	381.57	1.15	26.56	0.000	0.000
2	1069.24	61.29	937.76	0.80	26.56	0.000	0.000
3	1526.64	54.15	1237.50	0.65	26.56	0.000	0.000
4	1882.84	48.12	1401.91	0.57	26.56	0.000	0.000
5	2173.47	42.74	1475.13	0.52	26.56	0.000	0.000
6	2415.69	37.80	1480.56	0.49	26.56	0.000	0.000
7	2619.36	33.17	1433.13	0.46	26.56	0.000	0.000
8	2795.06	28.78	1345.52	0.44	26.38	0.000	0.000
9	3006.16	24.56	1249.57	0.42	23.04	0.000	0.000
10	3118.81	20.48	1091.46	0.41	23.04	0.000	0.000
11	3209.66	16.51	912.37	0.40	23.04	0.000	0.000
12	3280.21	12.62	716.92	0.39	23.04	0.000	0.000
13	3331.53	8.79	509.27	0.39	23.04	0.000	0.000

14	3410.89	5.00	297.33	0.39	23.04	0.000	0.000
15	1758.99	1.23	37.79	0.38	23.04	0.000	0.000
16	1150.67	-2.53	-50.87	0.38	23.04	0.000	0.000
17	1050.56	-6.31	-115.46	0.39	23.04	0.000	0.000
18	1009.46	-10.11	-177.25	0.39	23.04	0.000	0.000
19	951.82	-13.96	-229.66	0.40	23.04	0.000	0.000
20	874.71	-17.88	-268.52	0.40	23.04	0.000	0.000
21	776.94	-21.88	-289.56	0.41	23.04	0.000	0.000
22	656.52	-26.00	-287.83	0.43	24.13	0.000	0.000
23	505.58	-30.27	-254.88	0.44	26.56	0.000	0.000
24	323.57	-34.74	-184.40	0.47	26.56	0.000	0.000
25	107.41	-39.47	-68.28	0.50	26.56	0.000	0.000

$$\Sigma W_i = 425,7171 \text{ [kN]}$$

$$\Sigma W_i \sin \alpha_i = 123,3804 \text{ [kN]}$$

$$\Sigma W_i \tan \phi_i = 192,6866 \text{ [kN]}$$

$$\Sigma \tan \alpha_i \tan \phi_i = 3.89$$

Stabilità globale muro + terreno

Combinazione n° 12

Le ascisse X sono considerate positive verso monte

Le ordinate Y sono considerate positive verso l'alto

Origine in testa al muro (spigolo contro terra)

W peso della striscia espresso in [kN]

α angolo fra la base della striscia e l'orizzontale espresso in [°] (positivo antiorario)

ϕ angolo d'attrito del terreno lungo la base della striscia

c coesione del terreno lungo la base della striscia espressa in [kg/cmq]

b larghezza della striscia espressa in [m]

u pressione neutra lungo la base della striscia espressa in [kg/cmq]

Metodo di Bishop

Numero di cerchi analizzati 36

Numero di strisce 25

Cerchio critico

Coordinate del centro X[m]= -0,34 Y[m]= 1,36

Raggio del cerchio R[m]= 5,84

Ascissa a valle del cerchio Xi[m]= -4,24

Ascissa a monte del cerchio Xs[m]= 5,35

Larghezza della striscia dx[m]= 0,38

Coefficiente di sicurezza $C = 1.49$

Le strisce sono numerate da monte verso valle

Caratteristiche delle strisce

Striscia	W	$\alpha(^{\circ})$	$W\sin\alpha$	$b/\cos\alpha$	ϕ	c	u
1	404.55	70.60	381.57	1.15	26.56	0.000	0.000
2	1069.24	61.29	937.76	0.80	26.56	0.000	0.000
3	1526.64	54.15	1237.50	0.65	26.56	0.000	0.000
4	1882.84	48.12	1401.91	0.57	26.56	0.000	0.000
5	2173.47	42.74	1475.13	0.52	26.56	0.000	0.000
6	2415.69	37.80	1480.56	0.49	26.56	0.000	0.000
7	2619.36	33.17	1433.13	0.46	26.56	0.000	0.000
8	2795.06	28.78	1345.52	0.44	26.38	0.000	0.000
9	3006.16	24.56	1249.57	0.42	23.04	0.000	0.000
10	3118.81	20.48	1091.46	0.41	23.04	0.000	0.000
11	3209.66	16.51	912.37	0.40	23.04	0.000	0.000
12	3280.21	12.62	716.92	0.39	23.04	0.000	0.000
13	3331.53	8.79	509.27	0.39	23.04	0.000	0.000
14	3410.89	5.00	297.33	0.39	23.04	0.000	0.000
15	1758.99	1.23	37.79	0.38	23.04	0.000	0.000
16	1150.67	-2.53	-50.87	0.38	23.04	0.000	0.000
17	1050.56	-6.31	-115.46	0.39	23.04	0.000	0.000
18	1009.46	-10.11	-177.25	0.39	23.04	0.000	0.000
19	951.82	-13.96	-229.66	0.40	23.04	0.000	0.000
20	874.71	-17.88	-268.52	0.40	23.04	0.000	0.000
21	776.94	-21.88	-289.56	0.41	23.04	0.000	0.000
22	656.52	-26.00	-287.83	0.43	24.13	0.000	0.000
23	505.58	-30.27	-254.88	0.44	26.56	0.000	0.000
24	323.57	-34.74	-184.40	0.47	26.56	0.000	0.000
25	107.41	-39.47	-68.28	0.50	26.56	0.000	0.000

$$\Sigma W_i = 425,7171 \text{ [kN]}$$

$$\Sigma W_i \sin \alpha_i = 123,3804 \text{ [kN]}$$

$$\Sigma W_i \tan \phi_i = 192,6866 \text{ [kN]}$$

$$\Sigma \tan \alpha_i \tan \phi_i = 3.89$$

ALLEGATO C: SEZIONE 3 – H=4.40m

RELAZIONE TECNICA PER MURO DI SOSTEGNO PREFABBRICATO H = 4,40 m

Approccio **2** Muro Tipo **T**

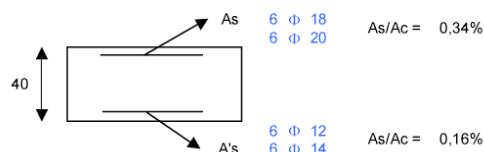
1 DATI DI PROGETTO

1a)	Dati geotecnici			
	Angolo di attrito interno	gradi	ϕ	32
	Peso specifico	daN / m ³	γ	1.900
	Angolo di attrito terra - muro (valore prudenziale)	gradi	δ	21
	Angolo di inclinazione piano di campagna	gradi	ε	0
	Coesione	daN / cm ²	c	0
1b)	Carichi agenti			
	Sovraccarico variabile stradale / ferroviario	daN / m ²	qa	2.000
	Sovraccarico permanente	daN / m ²	qp	0
	Forza orizzontale in testa variabile (positivo tende lato monte)	daN / elemento	fv	0
	Forza orizzontale in testa eccezionale (positivo tende lato monte)	daN / elemento	fe	2.500
	Sovraccarico sulla fondazione a monte	daN / m ²	q1	0
	Momento in testa variabile (positivo tende lato monte)	daNm / elemento	momv	0
	Momento in testa eccezionale (positivo tende lato monte)	daNm / elemento	mome	2.500
	Forza verticale in testa (positivo di compressione)	daN / elemento	N	0
	Braccio di N rispetto al paramento verticale (positivo verso nervature)	m	braccio	0,00
1c)	Dati sismici			
	Classe d'Uso		SLV	
	Vita Nominale	anni	Cu	1,5
	Periodo di Riferimento	anni	Vn	50
	Tempo di Ritorno	anni	Vr	75
	Accelerazione orizzontale massima su un sito rigido	anni	Tr	712
	Categoria sottosuolo	[g]	ag(g)	0,142
	Categoria topografica			B
	Fattore di amplificazione stratigrafica		T1	
	Fattore di amplificazione topografica		Ss	1,20
			St	1,00
1d)	Morfologia del muro			
	Altezza del muro	m	h1	4,40
	Distanza tra il punto di ribaltamento e il baricentro dell'elemento prefabbricato	m	X _G	0,87
	Distanza tra il baricentro del pannello e la soletta	m		0,17
	Peso elemento prefabbricato	daN	P	3.825
	Angolo di inclinazione parete prefabbricato rispetto l'orizzontale	gradi	b	90
	Larghezza elemento prefabbricato	m	b1	2,50
	Dimensione appoggio muro	m	appoggio	0,88
	Altezza sezione in sommità (tratto a sezione costante)	m		0,30
	Pendenza nervatura	m	pendenza	20%
	Larghezza nervatura / e	m	s	0,30
	Spessore soletta	m	sol	0,10
1e)	Morfologia della fondazione			
	Spessore massimo soletta di fondazione	m	h2	0,40
	Spessore minimo soletta di fondazione lato monte	m	h3	0,40
	Spessore minimo soletta di fondazione lato valle	m	h4	0,40
	Larghezza fondazione	m	l	3,40
	Dimensione sbalzo anteriore	m	sbalzo	0,70
	Larghezza suola fondazione a monte	m	l1	2,60
	Larghezza suola fuori nervatura	m	fo	1,90
	Larghezza sottofondazione	m	lf	0,00
	Altezza sottofondazione	m	hf	0,00
	Sbalzo a valle sottofondazione	m	sbf	0,00
1f)	Dati geotecnici terreno di fondazione			
	Angolo di attrito interno	gradi	ϕ	28
	Peso specifico	daN / m ³	γ	1.800
	Coesione	daN / cm ²	c	0
	Ricoprimento fondazione a valle	m	hr	0,70

2 VERIFICHE DI STABILITA' LOCALE

2a)	Verifica a traslazione	combinazione dimensionante	A1+M1	k_T	1,31	> 1,10
2b)	Verifica a ribaltamento	combinazione dimensionante	EQ	k_R	2,05	> 1,00
2c)	Verifica a capacità portante	combinazione dimensionante	A1+M1	k_P	1,54	> 1,40
				σ_{Tmax}	1,40	daN / cm ²
				σ_{Tmin}	0,13	daN / cm ²

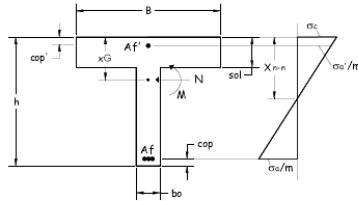
3 VERIFICHE FONDAZIONE



3a)	<u>Verifica fondazione di monte SLU (sezione d'incastro)</u>	M_u / M_d	1,22
	<u>Verifica fondazione di monte SISMICO (sezione d'incastro)</u>	M_u / M_d	3,03
3b)	<u>Verifica fondazione di valle SLU (sezione d'incastro)</u>	M_u / M_d	2,74
	<u>Verifica fondazione di valle SISMICO (sezione d'incastro)</u>	M_u / M_d	4,34
3c)	<u>Verifica fondazione di monte SLE RARA (sezione d'incastro)</u>	σ_c [daN / cm ²]	8 < σ_c lim 150
		σ_s [daN / cm ²]	319 < σ_s lim 3520
	<u>Verifica fondazione di monte SLE FREQUENTE (sezione d'incastro)</u>	Mcr [daNm]	14.481 > Me 1696,84
	<u>Verifica fondazione di monte SLE QUASI PERMANENTE (sezione d'incastro)</u>	σ_c [daN / cm ²]	2 < σ_c lim 112,5
		Mcr [daNm]	14.481 > Me 912,768

4 VERIFICHE PREFABBRICATO :

4a) Verifica prefabbricato



Af'	4	Φ 10		
Af 1	4	Φ 18	L 2	2,90 m
Af 2	4	Φ 18	L 3	1,45 m
Af 3	4	Φ 16	L 4	0,00 m
Af 4	0	Φ 0	L 5	0,00 m
Af 5	0	Φ 0		

SLU							Ka		STAFFE		
d	h	A _s	A _i	M _{s,d}	N _{s,d}	M _u	M _u /M _{s,d}	V _{rsd}	V _{rcd}	V _{sd}	
cm	cm	cm ²	cm ²	daN m	daN	daNm	>1.00	daN	daN	daN	
145	30	10.18	3.14	8979	1391	9724	1.08	11029	36577	7199	
164	32,7	10.18	3.14	10317	1565	10761	1.04	12210	40495	8016	
291	58,2	18.22	3.14	24389	2782	36197	1.48	23218	77003	15160	
400	80,0	18.22	3.14	44735	3825	51323	1.15	32654	108295	23270	

SISMICO							Ka		STAFFE		
d	h	A _s	A _i	M _{s,d}	N _{s,d}	M _u	M _u /M _{s,d}	V _{rsd}	V _{rcd}	V _{sd}	
cm	cm	cm ²	cm ²	daN m	daN	daNm	>1.00	daN	daN	daN	
145	30	10.18	3.14	7801	1391	9724	1.25	11029	36577	5205	
164	32,7	10.18	3.14	8809	1565	10761	1.22	12210	40495	5746	
291	58,2	18.22	3.14	19245	2782	36197	1.88	23218	77003	10804	
400	80,0	18.22	3.14	34399	3825	51323	1.49	32654	108295	16904	

SLE							Ka		FREQUENTE		RARA	
d	h	A _s	A _i	Mcr	srm	Me	ism	wk<0,3	σ _c <210	σ _s <3520		
cm	cm	cm ²	cm ²	daN m	mm	daNm		wk	σ _c	σ _s		
145	30	10.18	3.14	3266	-	1301	-	Mcr>Me	13	739		
164	32,7	10.18	3.14	3759	-	1746	-	Mcr>Me	15	881		
291	58,2	18.22	3.14	12638	0	7701	-	Mcr>Me	17	1100		
400	80,0	18.22	3.14	20470	-	18098	-	Mcr>Me	23	1724		

QUASI PERMANENTE			
Me	ism-cm	wk<0,2	σ _c <157,5
daNm		wk	σ _c
1030	-	Mcr>Me	7
1403	-	Mcr>Me	8
6617	-	Mcr>Me	11
16049	-	Mcr>Me	16

4b)	<u>Verifica soletta nel piano orizzontale SLU</u>	10 Φ 6	M_u / M_d	1,73
	<u>Verifica soletta nel piano orizzontale SISMICO</u>		M_u / M_d	2,27
	<u>Verifica soletta nel piano orizzontale SLE RARA</u>	σ_c [daN / cm ²]	44 < σ_c lim 210	
		σ_s [daN / cm ²]	1.618 < σ_s lim 3520	
	<u>Verifica soletta nel piano orizzontale SLE FREQUENTE</u>	Mcr [daNm]	78 > Me 49	
	<u>Verifica soletta nel piano orizzontale SLE QUASI PERMANENTE</u>	σ_c [daN / cm ²]	37 < σ_c lim 157,5	
		Mcr [daNm]	78 > Me 47	

VERIFICHE DI STABILITÀ GLOBALE MURO-TERRENO (H=4.40m)

Quadro riassuntivo coeff. di sicurezza calcolati

Simbologia adottata

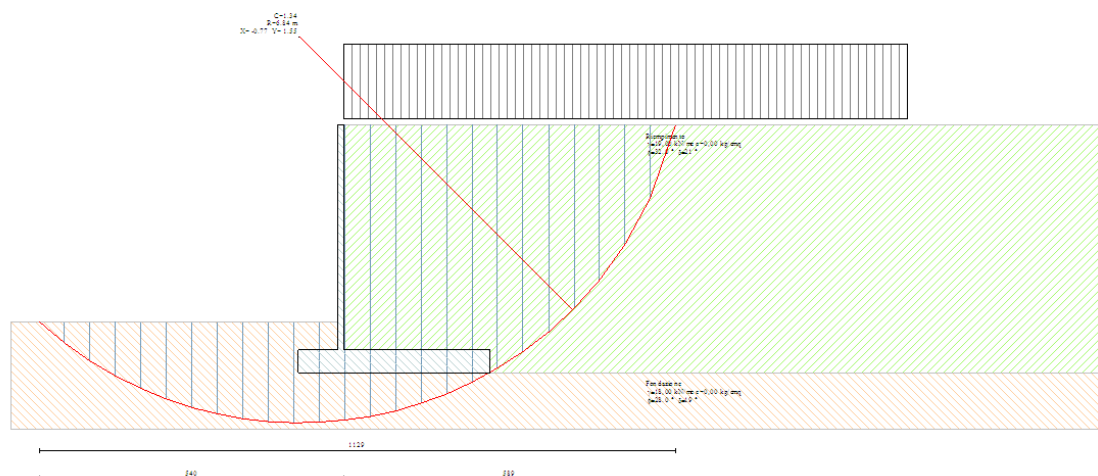
C Identificativo della combinazione

Tipo Tipo combinazione

Sisma Combinazione sismica

CS_{STAB} Coeff. di sicurezza a stabilità globale

C	Tipo	Sisma	CS _{stab}
4	STAB - [1]	--	1,34
11	STAB - [2]	Orizzontale + Verticale positivo	1,45
12	STAB - [2]	Orizzontale + Verticale negativo	1,45



Geometria muro e fondazione

Descrizione	Muro a mensola in c.a.
Altezza del paramento	4,00 [m]
Spessore in sommità	0,10 [m]
Spessore all'attacco con la fondazione	0,10 [m]
Inclinazione paramento esterno	0,00 [°]
Inclinazione paramento interno	0,00 [°]
Lunghezza del muro	2,50 [m]
Spessore rivestimento	0,30 [m]
Peso sp. rivestimento	25,0000 [kN/mc]

Fondazione

Lunghezza mensola fondazione di valle	0,70 [m]
Lunghezza mensola fondazione di monte	2,60 [m]
Lunghezza totale fondazione	3,40 [m]
Inclinazione piano di posa della fondazione	0,00 [°]
Spessore fondazione	0,40 [m]
Spessore magrone	0,20 [m]

Contrafforti

Altezza contrafforti	4,00 [m]
Spessore contrafforti	0,15 [m]
Larghezza in sommità	0,20 [m]
Larghezza alla base	0,70 [m]
Interasse contrafforti	1,50 [m]
Numero contrafforti	2
Posizione :	Monte
Disposizione :	Sfalsati

Materiali utilizzati per la struttura

Calcestruzzo

Peso specifico	24,517 [kN/mc]
Resistenza caratteristica a compressione R_{bk}	250,0 [kg/cmq]

Acciaio

Tipo	FeB44K
------	--------

Geometria profilo terreno a monte del muro

Simbologia adottata e sistema di riferimento

(Sistema di riferimento con origine in testa al muro, ascissa X positiva verso monte, ordinata Y positiva verso l'alto)

N numero ordine del punto

X ascissa del punto espressa in [m]

Y ordinata del punto espressa in [m]

A inclinazione del tratto espressa in [°]

N	X	Y	A
1	20,00	0,00	0,00

Terreno a valle del muro

Inclinazione terreno a valle del muro rispetto all'orizzontale 0,00 [°]

Altezza del rinterro rispetto all'attacco fondaz.valle-paramento 0,50 [m]

Descrizione terreni

Simbologia adottata

<i>Nr.</i>	Indice del terreno
<i>Descrizione</i>	Descrizione terreno
γ	Peso di volume del terreno espresso in [kN/mc]
γ_s	Peso di volume saturo del terreno espresso in [kN/mc]
ϕ	Angolo d'attrito interno espresso in [°]
δ	Angolo d'attrito terra-muro espresso in [°]
c	Coesione espressa in [kg/cm ²]
c_a	Adesione terra-muro espressa in [kg/cm ²]

Descrizione	γ	γ_s	ϕ	δ	c	c_a
Riempimento	19,00	19,00	32,00	21,33	0,000	0,000
Fondazione	18,00	18,00	28,00	18,67	0,000	0,000

Stratigrafia

Terreno spingente:	Riempimento
Terreno di fondazione:	Fondazione

Stabilità globale muro + terreno

Combinazione n° 4

Le ascisse X sono considerate positive verso monte

Le ordinate Y sono considerate positive verso l'alto

Origine in testa al muro (spigolo contro terra)

W	peso della striscia espresso in [kN]
α	angolo fra la base della striscia e l'orizzontale espresso in [°] (positivo antiorario)
ϕ	angolo d'attrito del terreno lungo la base della striscia
c	coesione del terreno lungo la base della striscia espressa in [kg/cm ²]
b	larghezza della striscia espressa in [m]
u	pressione neutra lungo la base della striscia espressa in [kg/cm ²]

Metodo di Bishop

Numero di cerchi analizzati 36

Numero di strisce 25

Cerchio critico

Coordinate del centro X[m]= -0,77 Y[m]= 1,55

Raggio del cerchio R[m]= 6,84

Ascissa a valle del cerchio Xi[m]= -5,40

Ascissa a monte del cerchio $X_s[m]= 5,89$

Larghezza della striscia $dx[m]= 0,45$

Coefficiente di sicurezza $C= 1.34$

Le strisce sono numerate da monte verso valle

Caratteristiche delle strisce

Striscia	W	$\alpha(^{\circ})$	$W\sin\alpha$	$b/\cos\alpha$	ϕ	c	u
1	1766.70	70.84	1668.88	1.38	26.56	0.000	0.000
2	2698.64	61.42	2369.85	0.94	26.56	0.000	0.000
3	3335.86	54.22	2706.42	0.77	26.56	0.000	0.000
4	3830.87	48.15	2853.53	0.68	26.56	0.000	0.000
5	4234.19	42.73	2873.32	0.62	26.56	0.000	0.000
6	4569.95	37.76	2798.63	0.57	26.56	0.000	0.000
7	4851.98	33.11	2650.33	0.54	26.56	0.000	0.000
8	5158.36	28.69	2476.54	0.51	24.14	0.000	0.000
9	5377.33	24.46	2226.13	0.50	23.04	0.000	0.000
10	5532.65	20.36	1924.68	0.48	23.04	0.000	0.000
11	5657.64	16.37	1594.19	0.47	23.04	0.000	0.000
12	5754.37	12.46	1241.11	0.46	23.04	0.000	0.000
13	5824.32	8.60	871.27	0.46	23.04	0.000	0.000
14	2736.81	4.79	228.53	0.45	23.04	0.000	0.000
15	1612.86	1.00	28.09	0.45	23.04	0.000	0.000
16	1516.11	-2.79	-73.79	0.45	23.04	0.000	0.000
17	1485.35	-6.59	-170.46	0.45	23.04	0.000	0.000
18	1429.28	-10.42	-258.48	0.46	23.04	0.000	0.000
19	1347.13	-14.30	-332.66	0.47	23.04	0.000	0.000
20	1237.68	-18.24	-387.44	0.48	23.04	0.000	0.000
21	1099.22	-22.28	-416.76	0.49	23.04	0.000	0.000
22	929.37	-26.44	-413.80	0.50	23.04	0.000	0.000
23	721.02	-30.76	-368.71	0.53	25.79	0.000	0.000
24	463.84	-35.28	-267.88	0.55	26.56	0.000	0.000
25	157.73	-40.07	-101.53	0.59	26.56	0.000	0.000

$\Sigma W_i= 719,1259$ [kN]

$\Sigma W_i\sin\alpha_i= 252,2308$ [kN]

$\Sigma W_i\tan\phi_i= 326,3943$ [kN]

$\Sigma \tan\alpha_i\tan\phi_i= 3.86$

Stabilità globale muro + terreno

Combinazione n° 11

Le ascisse X sono considerate positive verso monte

Le ordinate Y sono considerate positive verso l'alto

Origine in testa al muro (spigolo contro terra)

- W peso della striscia espresso in [kN]
- α angolo fra la base della striscia e l'orizzontale espresso in [°] (positivo antiorario)
- ϕ angolo d'attrito del terreno lungo la base della striscia
- c coesione del terreno lungo la base della striscia espressa in [kg/cmq]
- b larghezza della striscia espressa in [m]
- u pressione neutra lungo la base della striscia espressa in [kg/cmq]

Metodo di Bishop

Numero di cerchi analizzati 36

Numero di strisce 25

Cerchio critico

Coordinate del centro X[m]= -0,39 Y[m]= 1,55

Raggio del cerchio R[m]= 6,66

Ascissa a valle del cerchio Xi[m]= -4,74

Ascissa a monte del cerchio Xs[m]= 6,09

Larghezza della striscia dx[m]= 0,43

Coefficiente di sicurezza C= 1.45

Le strisce sono numerate da monte verso valle

Caratteristiche delle strisce

Striscia	W	$\alpha(^{\circ})$	$W\sin\alpha$	$b/\cos\alpha$	ϕ	c	u
1	516.89	70.61	487.58	1.31	26.56	0.000	0.000
2	1367.59	61.41	1200.88	0.91	26.56	0.000	0.000
3	1954.68	54.31	1587.66	0.74	26.56	0.000	0.000
4	2412.19	48.31	1801.34	0.65	26.56	0.000	0.000
5	2785.80	42.96	1898.37	0.59	26.56	0.000	0.000
6	3097.48	38.04	1908.67	0.55	26.56	0.000	0.000
7	3359.90	33.44	1851.29	0.52	26.56	0.000	0.000
8	3581.10	29.07	1739.76	0.50	26.56	0.000	0.000
9	3854.28	24.88	1621.31	0.48	23.29	0.000	0.000
10	4006.70	20.82	1424.38	0.46	23.04	0.000	0.000
11	4125.04	16.88	1197.72	0.45	23.04	0.000	0.000
12	4217.54	13.02	949.85	0.44	23.04	0.000	0.000
13	4285.59	9.21	686.03	0.44	23.04	0.000	0.000
14	4330.14	5.45	411.12	0.44	23.04	0.000	0.000
15	2518.38	1.71	75.08	0.43	23.04	0.000	0.000

16	1408.32	-2.02	-49.74	0.43	23.04	0.000	0.000
17	1289.02	-5.77	-129.48	0.44	23.04	0.000	0.000
18	1242.69	-9.53	-205.77	0.44	23.04	0.000	0.000
19	1172.89	-13.34	-270.61	0.45	23.04	0.000	0.000
20	1078.65	-17.21	-319.13	0.45	23.04	0.000	0.000
21	958.57	-21.16	-346.05	0.46	23.04	0.000	0.000
22	810.56	-25.22	-345.43	0.48	23.61	0.000	0.000
23	625.44	-29.43	-307.30	0.50	26.56	0.000	0.000
24	400.99	-33.81	-223.16	0.52	26.56	0.000	0.000
25	134.77	-38.44	-83.79	0.55	26.56	0.000	0.000

$\Sigma W_i = 544,6230$ [kN]

$\Sigma W_i \sin \alpha_i = 162,4063$ [kN]

$\Sigma W_i \tan \phi_i = 246,7405$ [kN]

$\Sigma \tan \alpha_i \tan \phi_i = 4.02$

Stabilità globale muro + terreno

Combinazione n° 12

Le ascisse X sono considerate positive verso monte

Le ordinate Y sono considerate positive verso l'alto

Origine in testa al muro (spigolo contro terra)

W peso della striscia espresso in [kN]

α angolo fra la base della striscia e l'orizzontale espresso in [°] (positivo antiorario)

ϕ angolo d'attrito del terreno lungo la base della striscia

c coesione del terreno lungo la base della striscia espressa in [kg/cm²]

b larghezza della striscia espressa in [m]

u pressione neutra lungo la base della striscia espressa in [kg/cm²]

Metodo di Bishop

Numero di cerchi analizzati 36

Numero di strisce 25

Cerchio critico

Coordinate del centro X[m]= -0,77 Y[m]= 1,94

Raggio del cerchio R[m]= 7,18

Ascissa a valle del cerchio Xi[m]= -5,48

Ascissa a monte del cerchio Xs[m]= 6,14

Larghezza della striscia dx[m]= 0,46

Coefficiente di sicurezza C= 1.45

Le strisce sono numerate da monte verso valle

Caratteristiche delle strisce

Striscia	W	$\alpha(^{\circ})$	$W\sin\alpha$	$b/\cos\alpha$	ϕ	c	u
1	543.81	68.95	507.51	1.29	26.56	0.000	0.000
2	1454.42	60.28	1263.16	0.94	26.56	0.000	0.000
3	2103.34	53.42	1689.12	0.78	26.56	0.000	0.000
4	2614.41	47.56	1929.36	0.69	26.56	0.000	0.000
5	3033.83	42.30	2041.78	0.63	26.56	0.000	0.000
6	3384.68	37.45	2058.25	0.59	26.56	0.000	0.000
7	3680.50	32.90	1999.41	0.55	26.56	0.000	0.000
8	3968.64	28.58	1898.62	0.53	25.31	0.000	0.000
9	4235.30	24.43	1751.65	0.51	23.04	0.000	0.000
10	4399.92	20.41	1534.56	0.50	23.04	0.000	0.000
11	4533.01	16.50	1287.21	0.48	23.04	0.000	0.000
12	4636.70	12.66	1016.19	0.48	23.04	0.000	0.000
13	4712.52	8.88	727.45	0.47	23.04	0.000	0.000
14	3207.32	5.14	287.28	0.47	23.04	0.000	0.000
15	1631.04	1.42	40.41	0.47	23.04	0.000	0.000
16	1521.37	-2.29	-60.88	0.47	23.04	0.000	0.000
17	1492.53	-6.02	-156.44	0.47	23.04	0.000	0.000
18	1437.49	-9.77	-243.81	0.47	23.04	0.000	0.000
19	1355.54	-13.56	-317.75	0.48	23.04	0.000	0.000
20	1245.52	-17.41	-372.67	0.49	23.04	0.000	0.000
21	1105.82	-21.35	-402.54	0.50	23.04	0.000	0.000
22	934.16	-25.39	-400.60	0.51	23.04	0.000	0.000
23	722.71	-29.58	-356.77	0.53	26.10	0.000	0.000
24	463.03	-33.95	-258.60	0.56	26.56	0.000	0.000
25	155.18	-38.56	-96.73	0.59	26.56	0.000	0.000

$\Sigma W_i = 574,4116$ [kN]

$\Sigma W_i \sin \alpha_i = 170,2967$ [kN]

$\Sigma W_i \tan \phi_i = 259,3847$ [kN]

$\Sigma \tan \alpha_i \tan \phi_i = 3.75$